



应用小管径的高效制冷空调装置开发技术

丁国良

上海交通大学

2016-05-26



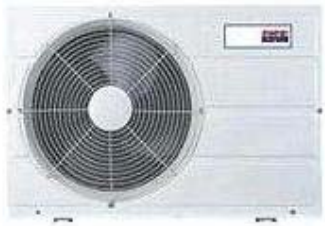


1. 小管径问题概述
2. 管内制冷剂传热与流动特性
3. 翅片侧传热流动模拟与翅片设计
4. 换热器热力性能模拟与优化设计
5. 整机热力性能模拟与优化设计
6. 降噪与长效
7. 结论



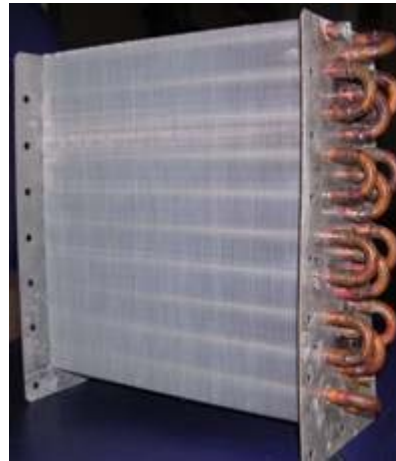
小管径思路的提出

- “铜管-铝翅片”的翅片管式换热器是最常用的制冷剂-空气热交换器
- 小管径提出的直接原因-减少铜材料的消耗，降低成本



空调器

Air Conditioner



翅片管换热器

Heat Exchanger



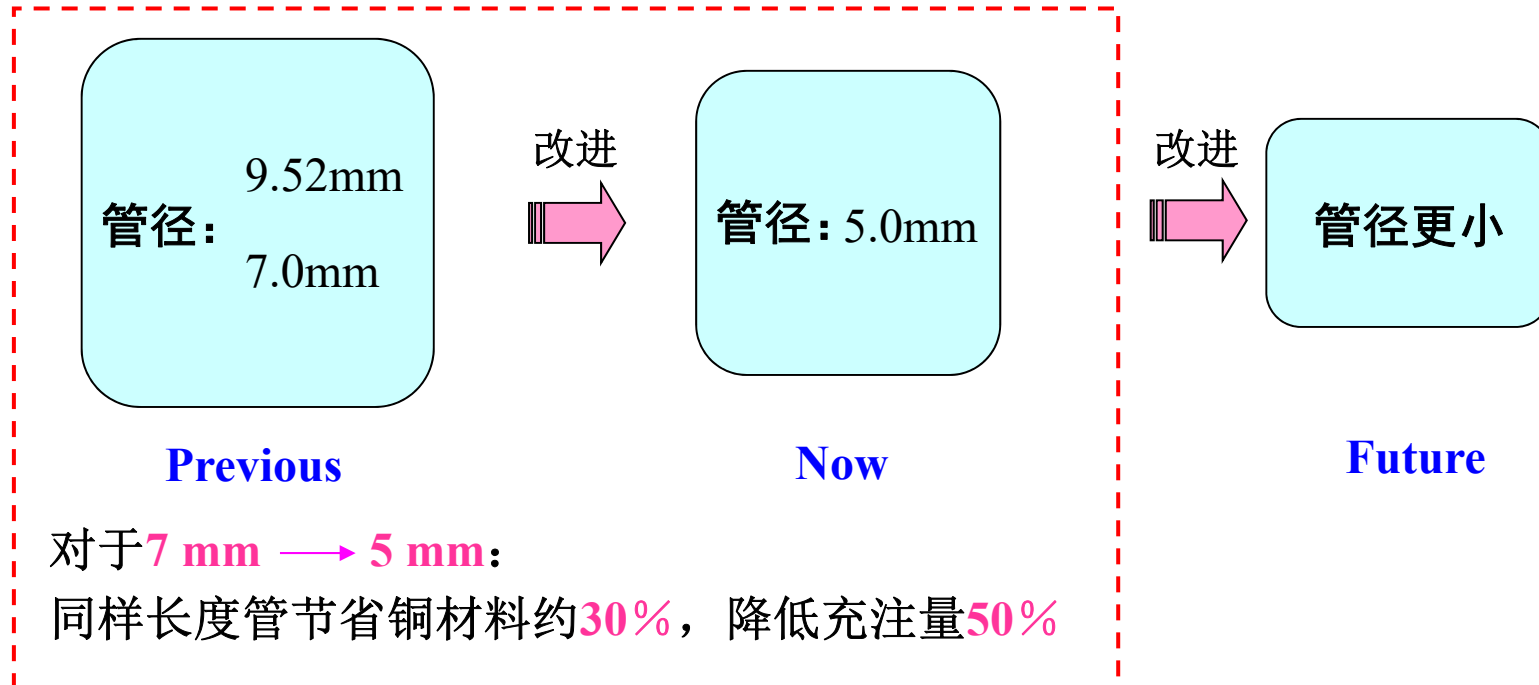
铜管

Copper Tubes



小管径的好处

- 降低生产成本 - 管子细了，还可以更薄
- 提高传热效率 - 制冷剂可以更好与管子换热
- 减小空调器的体积
- 降低制冷剂充注量





应用小管径需要解决的主要问题

制造技术问题:

- 细径薄壁管子的制造
- 防止胀管收缩
- 薄壁细管的胀接焊

设计技术问题:

- 如何选管子 - 没有管内传热与压降特性的关联式了
- 如何设计翅片 - 没有为细管配套的翅片，没有计算翅片侧空气传热与压降特性的成果
- 如何设计换热器 - 5mm管直接替代7mm管产生4倍压降
- 如何设计整机 - 同时考虑管子、翅片、流路的变动



1. 小管径问题概述
2. 管内制冷剂传热与流动特性
3. 翅片侧传热流动模拟与翅片设计
4. 换热器热力性能模拟与优化设计
5. 整机热力性能模拟与优化设计
6. 降噪与长效
7. 结论



目标:

- 了解小管径内实际制冷剂-油混合物的换热与流动特性
- 建立相应关联式

蒸发工况:

- 建立制冷剂-油混合物蒸发换热与流动实验台
- 进行不同工况参数下的蒸发实验：管子尺寸、制冷剂 - 油混合物质流密度、油浓度、热流密度
- 开发关联式

冷凝工况:

- 建立制冷剂-油混合物冷凝换热与流动实验台
- 进行不同工况参数下的蒸发实验：管子尺寸、制冷剂 - 油混合物质流密度、油浓度、热流密度
- 开发关联式



上海交通大学

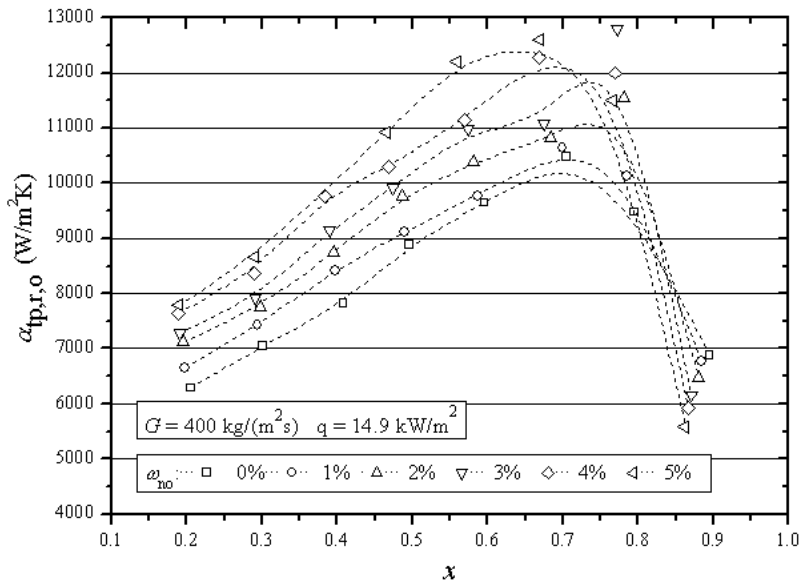
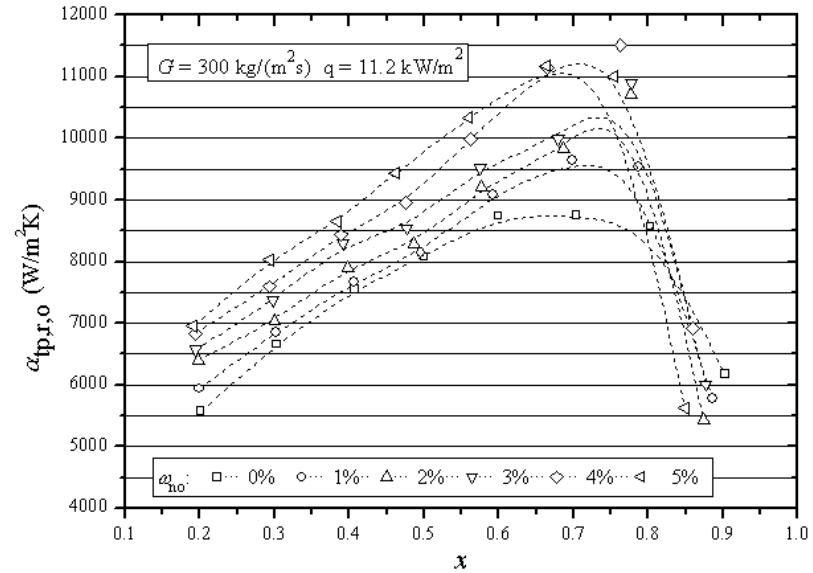
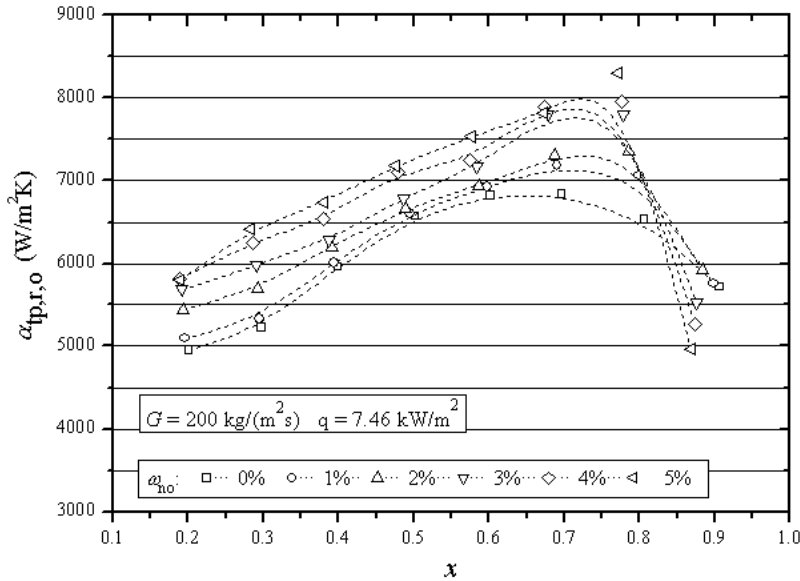
Shanghai Jiao Tong University

蒸发换热实验台





5 mm强化管内的蒸发换热-干度与油浓度

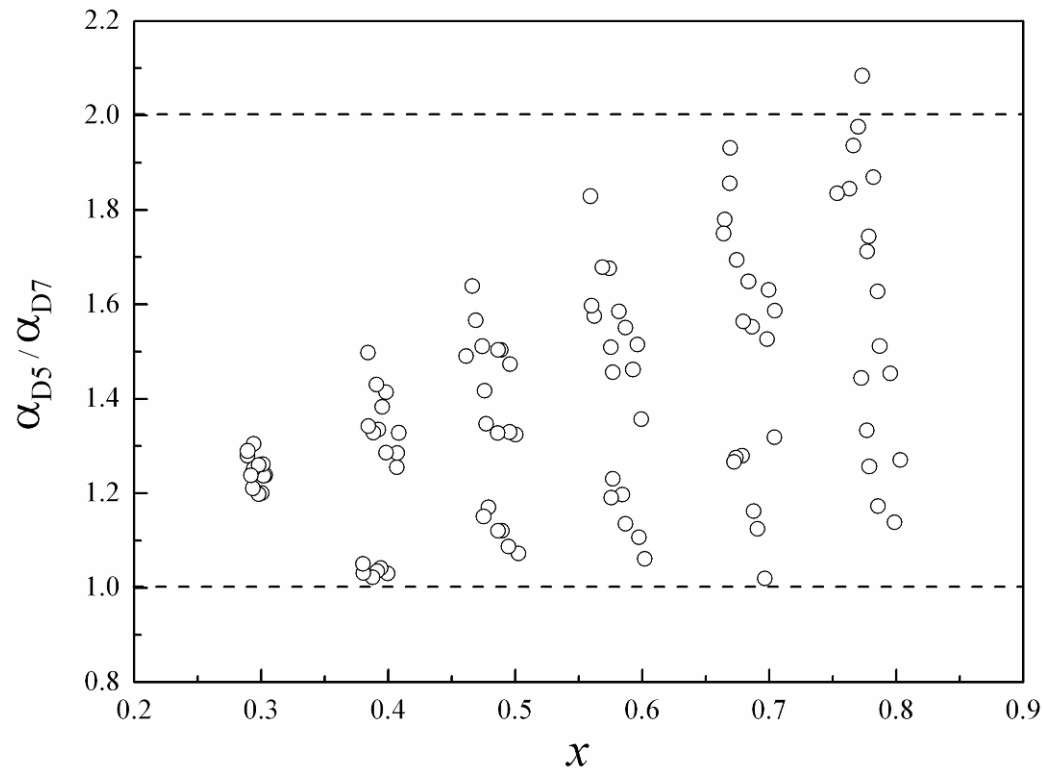


- 对于纯R410A:
换热系数随干度的增大先增大, 再下降。
- 对于R410A-油混合物:
在干度小于0.6时, 润滑油的存在对换热起增强作用; 干度大于0.8时, 换热系数随着油浓度和干度的增大迅速降低。



5 mm强化管内的蒸发换热-对比7mm管

5mm管和7mm管的换热系数的比值

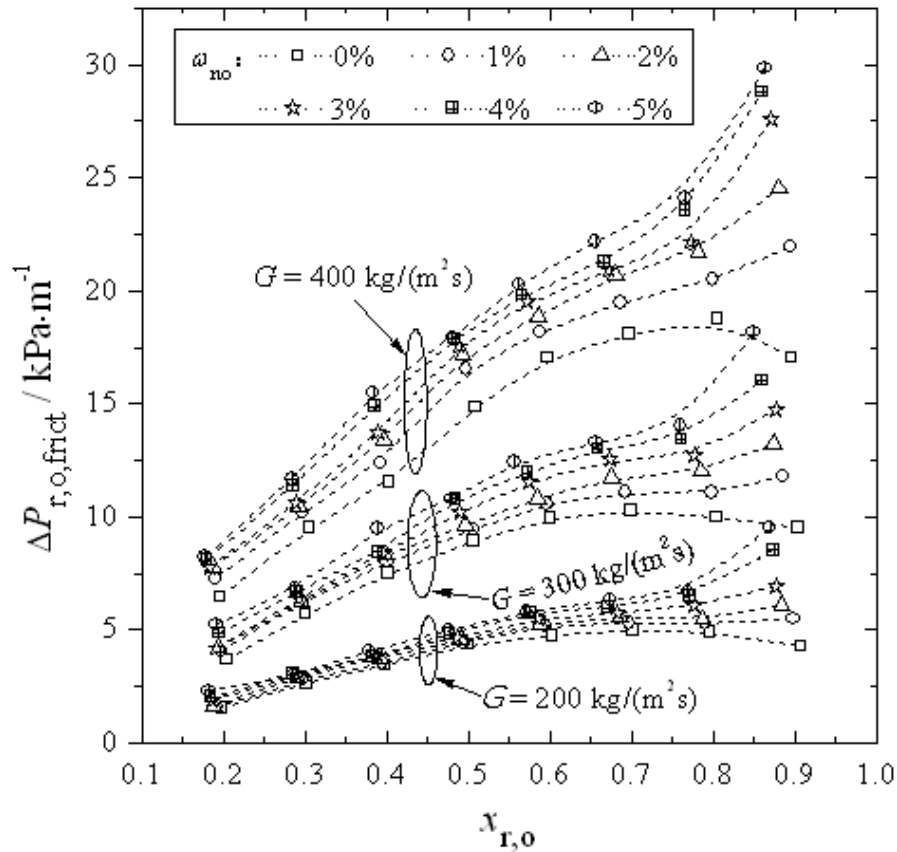


结论:

5mm强化管内的换热系数比7mm强化管的换热增大0%~100%



5 mm强化管内的蒸发压降-干度与油浓度



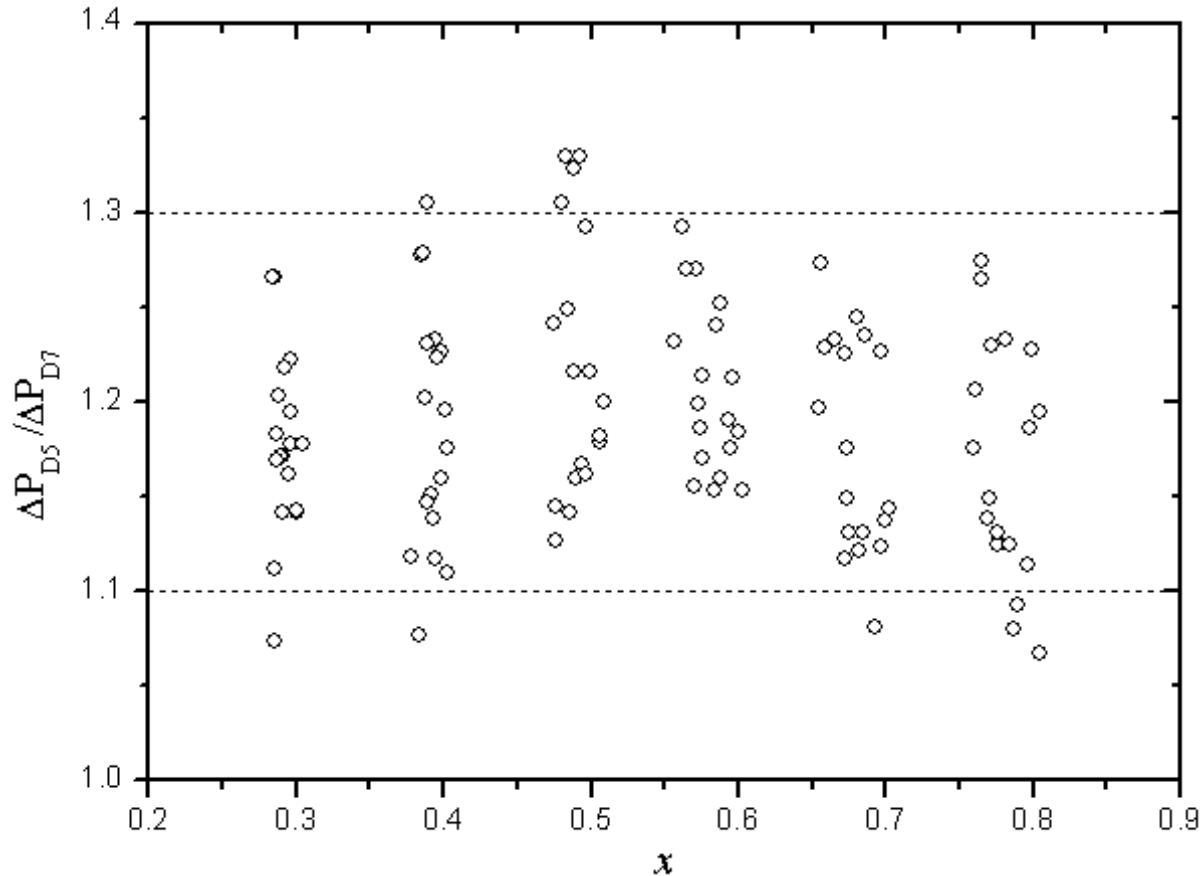
1) R410A-油混合物的摩擦压降随平均油浓度、质流密度和干度的增大而增大

2) 纯制冷剂R410A，摩擦压降随着干度的增大先增大后减小，峰值出现在干度为0.7~0.8左右



5 mm强化管内的蒸发压降-对比7mm管

5mm管和7mm管的摩擦压降的比值



结论:

5mm强化管内的摩擦压降比7mm强化管的摩擦压降增大10%~30%



上海交通大學

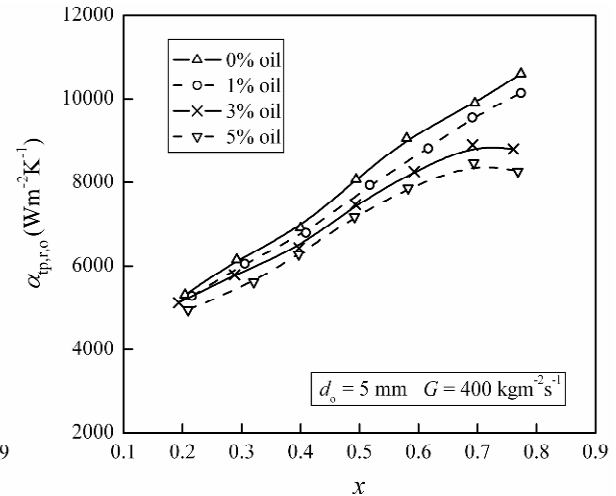
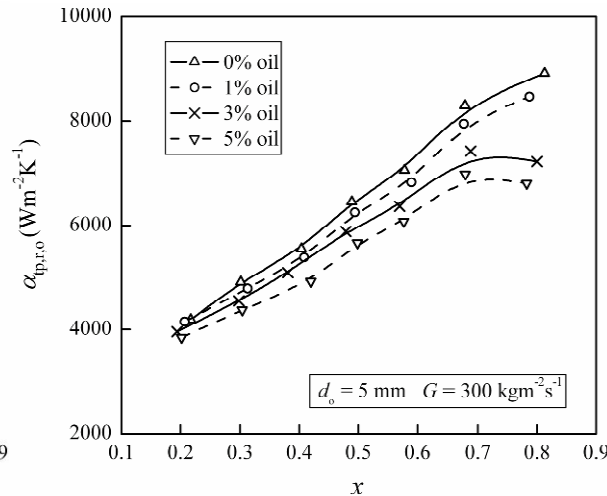
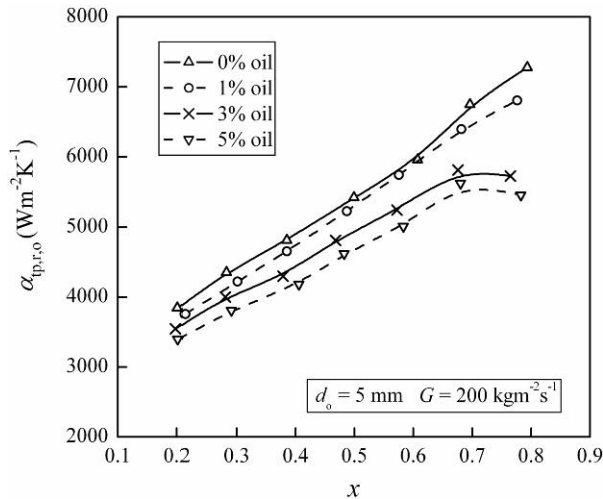
Shanghai Jiao Tong University

冷凝換熱實驗台





5 mm强化管内的冷凝换热



干度对换热系数的影响:

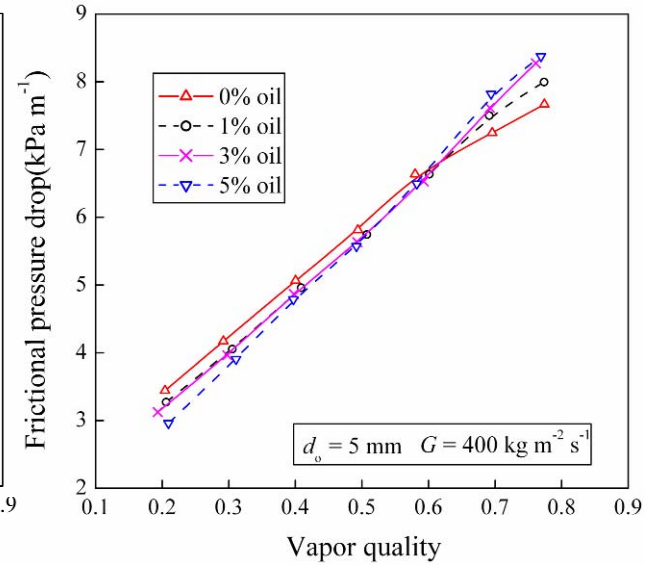
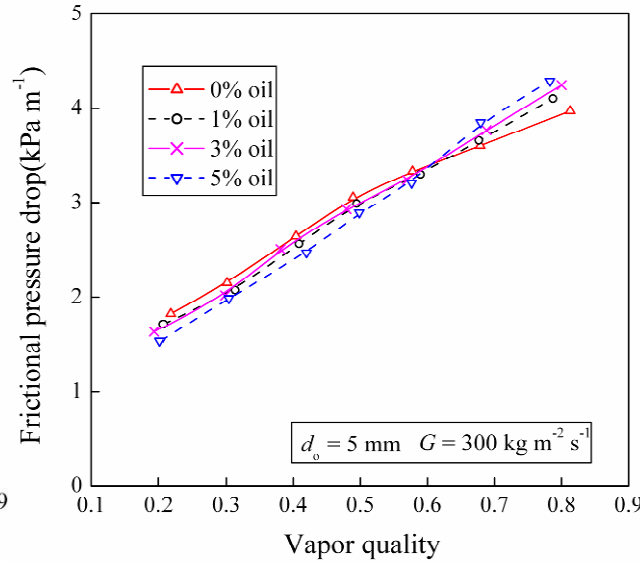
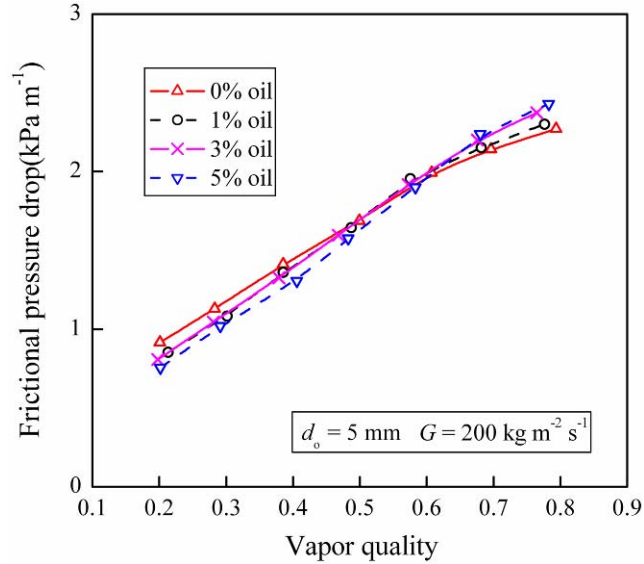
- 纯制冷剂R410A和1%油浓度，R410A-油混合物的换热系数随干度的减小而减小
- 3%和5%油浓度，换热系数随着干度的下降先增大，在干度0.7左右达到峰值，然后随着干度的下降而下降



上海交通大学

Shanghai Jiao Tong University

5 mm强化管内的冷凝压降



$$x < 0.6: \Delta P_{r,o,frict} < \Delta P_{r,frict}$$

$$x > 0.6: \Delta P_{r,o,frict} > \Delta P_{r,frict}$$

油对压降的影响:

中低干度: 油的存在



降低摩擦压降

高干度: 油的存在



增加摩擦压降



1. 小管径问题概述
2. 管内制冷剂传热与流动特性
3. 翅片侧传热流动模拟与翅片设计
4. 换热器热力性能模拟与优化设计
5. 整机热力性能模拟与优化设计
6. 降噪与长效
7. 结论



适应小管径的翅片开发问题概述

直接的问题:

- 翅片间距必须小到一定程度 - 强化结构风阻加大
- 不能照搬国外产品 - 几乎没有现成产品, 不想多开翅片模, 想用现成的大部分产品模具

技术上的短缺:

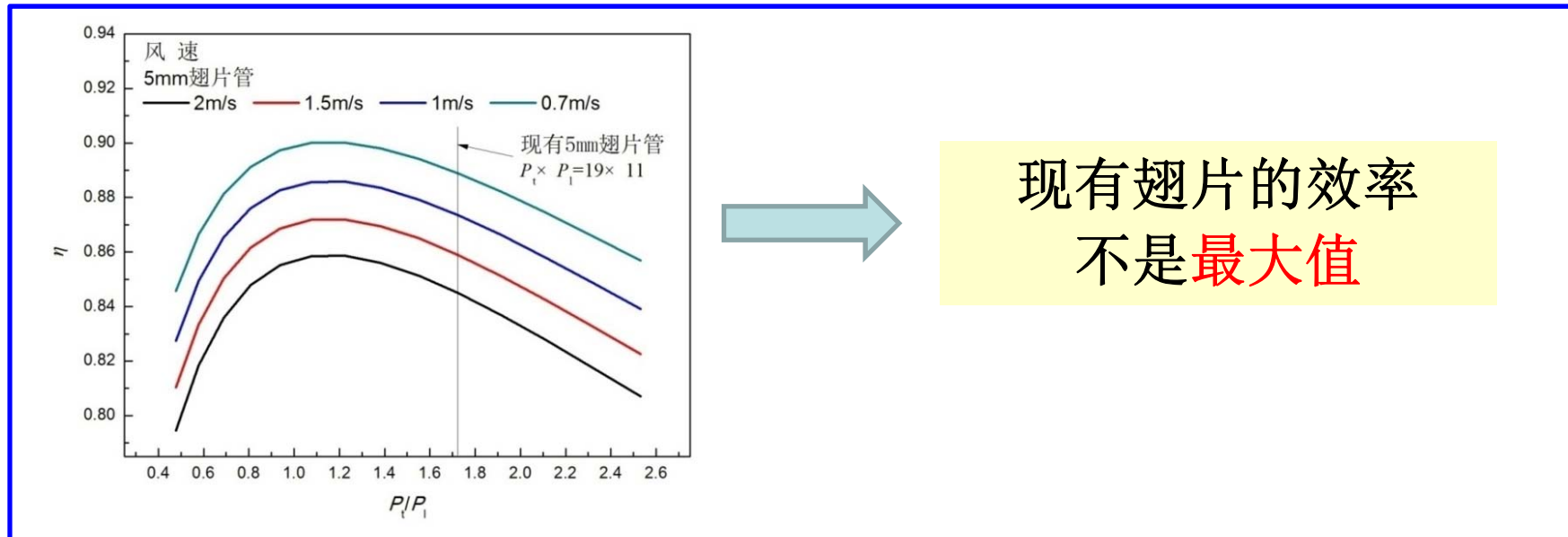
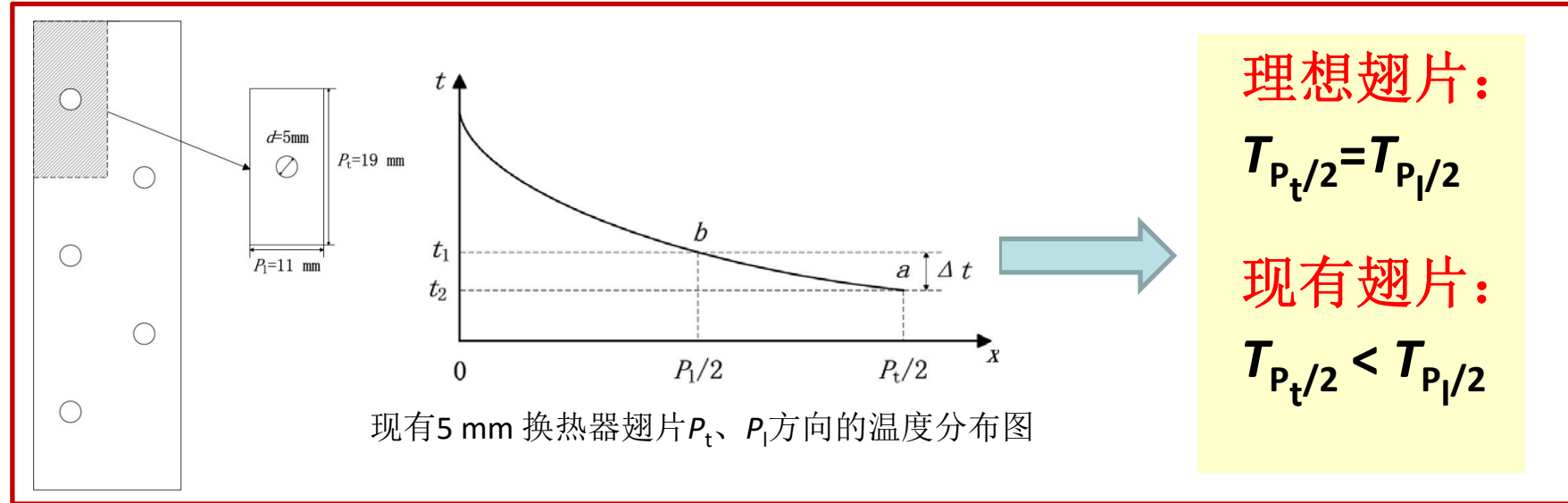
- 缺针对小管径翅片的设计方法
- 缺可以针对翅片析湿过程模拟的CFD软件
- 缺少小管径翅片的实验测试与关联式

开展的工作:

- 提出小管径翅片设计的一般原则
- 开发可以模拟复杂结构翅片析湿过程的模拟软件
- 进行小管径翅片的实验测试与关联式开发



一些现有翅片的问题分析





翅片开缝结构的选择

➤ 开缝类型选取目标:

- 换热好
- 空气侧压降小

➤ 百叶窗式开缝特点:

- 切断散热带上空气侧边界层的发展、提高换热性能，缺点是空气侧压降较大；

➤ 桥式开缝特点:

- 相比窗片，其换热性能略低，但是空气侧压降较小。

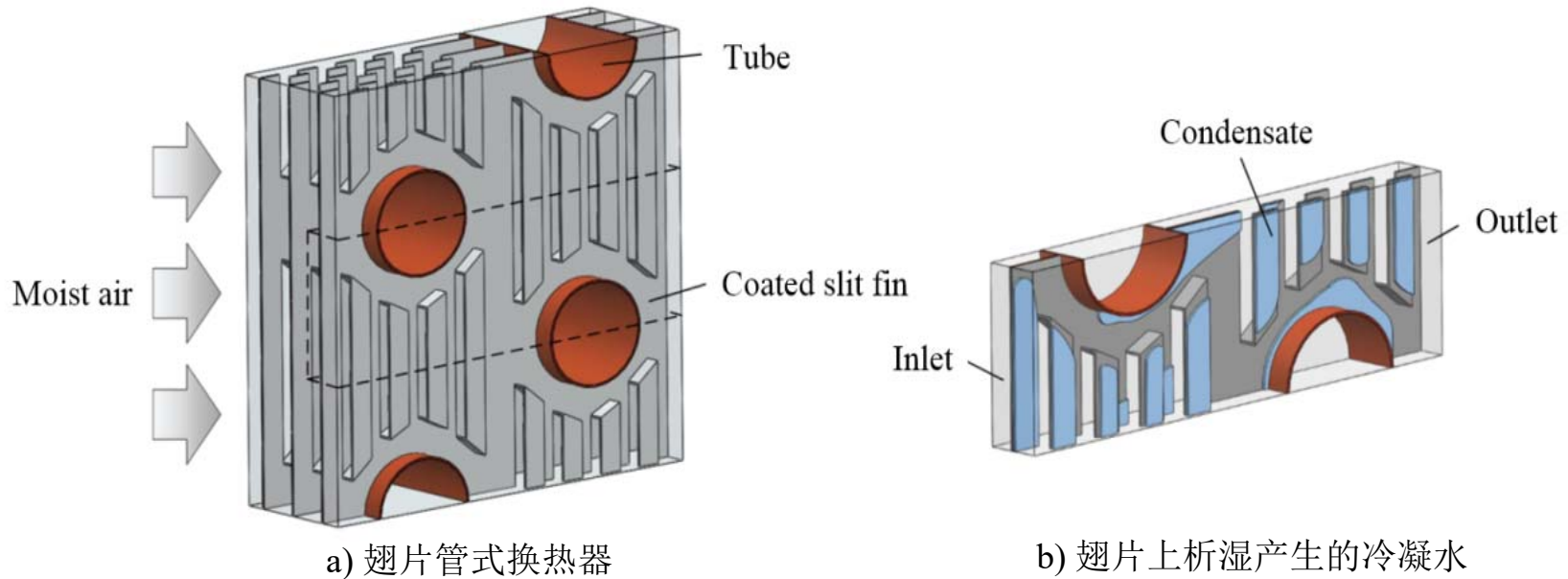
➤ 确定开缝尺寸:

- 采用CFD模拟
- 干工况可以用商业软件；湿工况得二次开发



翅片表面析湿过程的模拟

□ 空调器析湿过程的物理模型



湿空气流经翅片表面，
由于翅片表面温度低
于露点温度，翅片表
面有冷凝水产生



随着时间推移，
翅片表面的冷凝
水越来越多并开
始发生流动

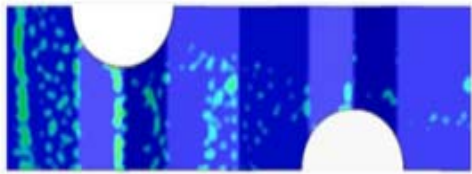


□ 模型计算结果-亲水强化翅片

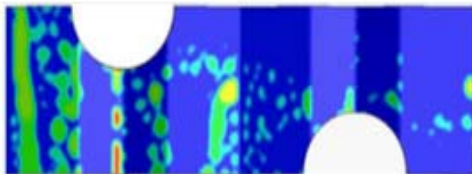
波纹片



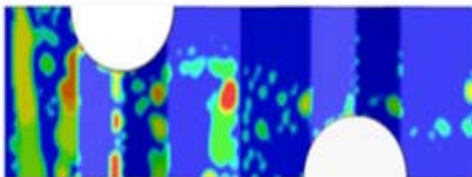
T=0.005 s



T=0.1 s

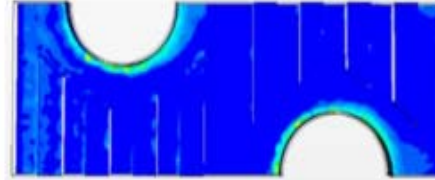


T=0.5 s

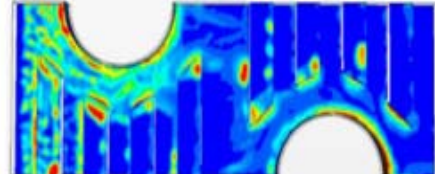


T=1.0 s

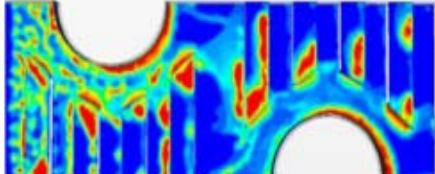
条缝片



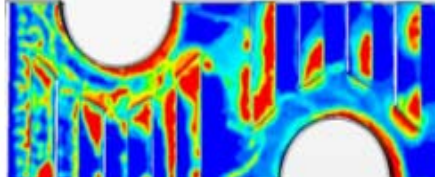
T=0.005 s



T=0.1 s

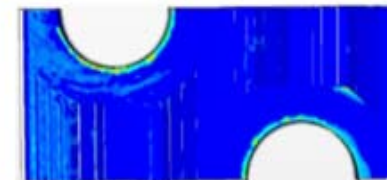


T=0.5 s

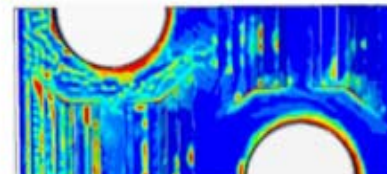


T=1.0 s

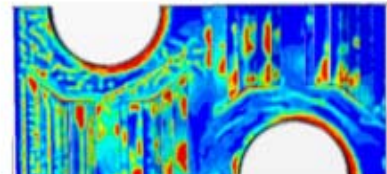
百叶窗片



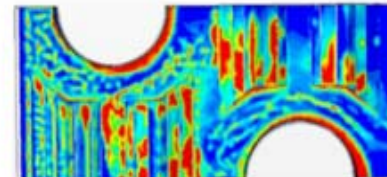
T=0.005 s



T=0.1 s



T=0.5 s



T=1.0 s

- 对于亲水强化翅片，冷凝水形成过程与平翅片不同。冷凝水更容易在强化结构处（例如波纹、开缝和百叶窗）形成，并沿重力方向流出翅片表面。



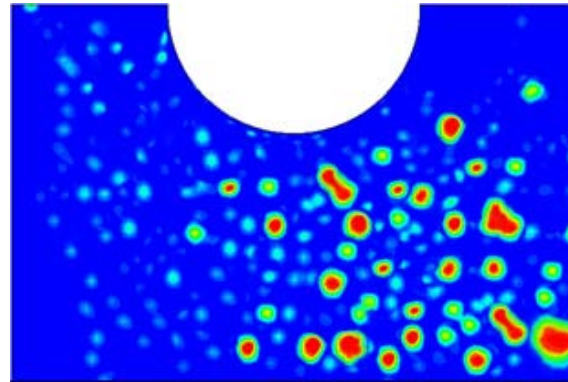
上海交通大学

Shanghai Jiao Tong University

翅片表面析湿模型的实验验证

可视化验证结果

翅片表面
液滴形成过程

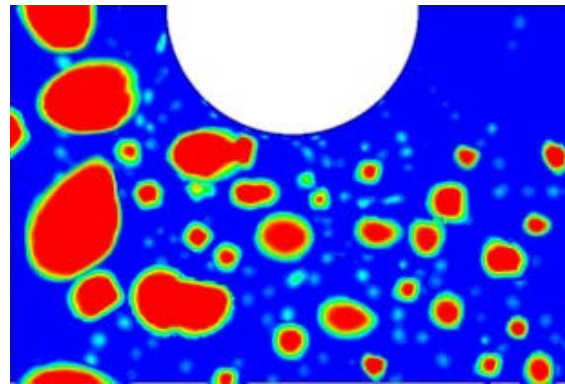


模拟结果



实验结果

翅片表面
液滴生长过程



模拟结果



实验结果



1. 小管径问题概述
2. 管内制冷剂传热与流动特性
3. 翅片侧传热流动模拟与翅片设计
4. 换热器热力性能模拟与优化设计
5. 整机热力性能模拟与优化设计
6. 降噪与长效
7. 结论

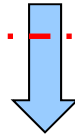


换热器优化设计思路

空调换热器铜管：7mm→5mm



降低两器成本



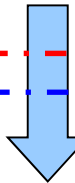
直接代替



换热器压降↑



系统能效比↓



换热器优化设计

换热器三维分布参数
仿真与优化设计软件



增大换热器换热量

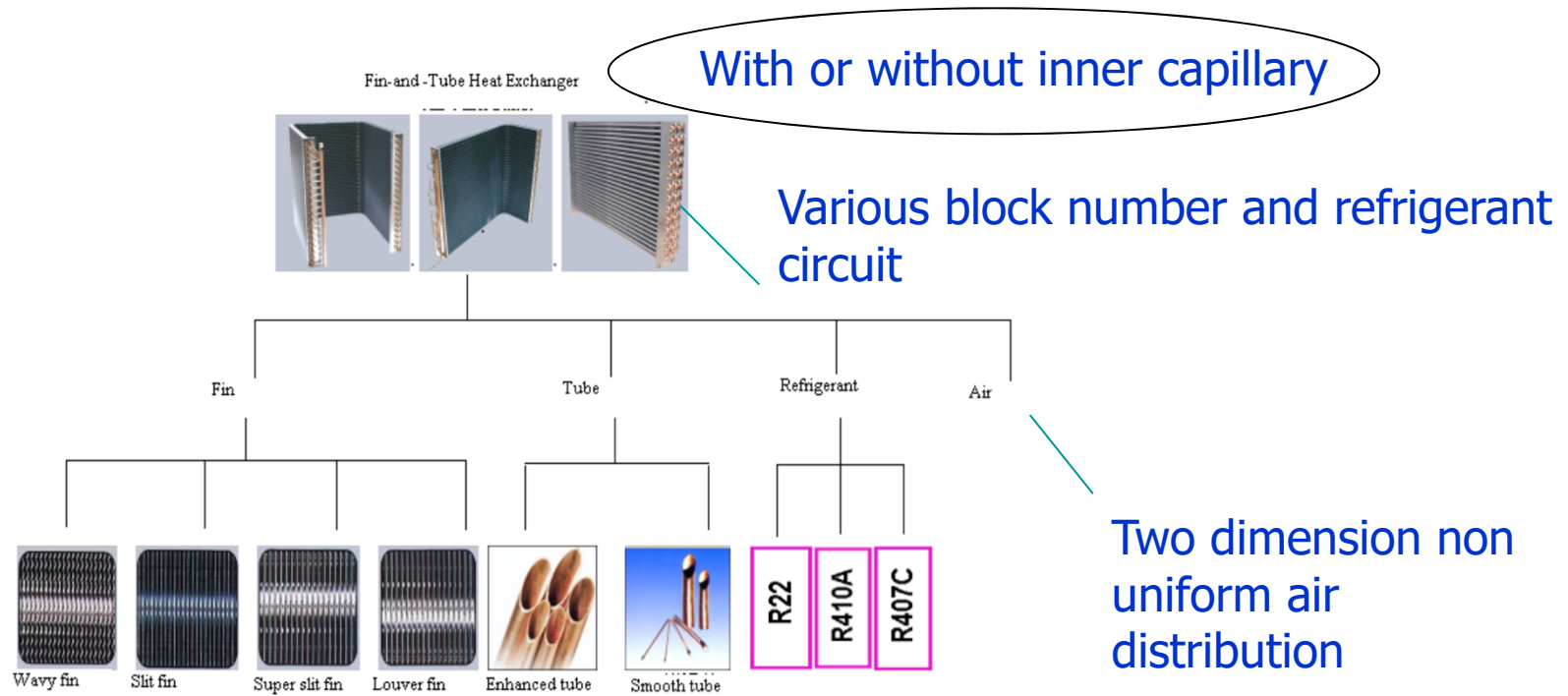
压降在一定范围内



上海交通大学

Shanghai Jiao Tong University

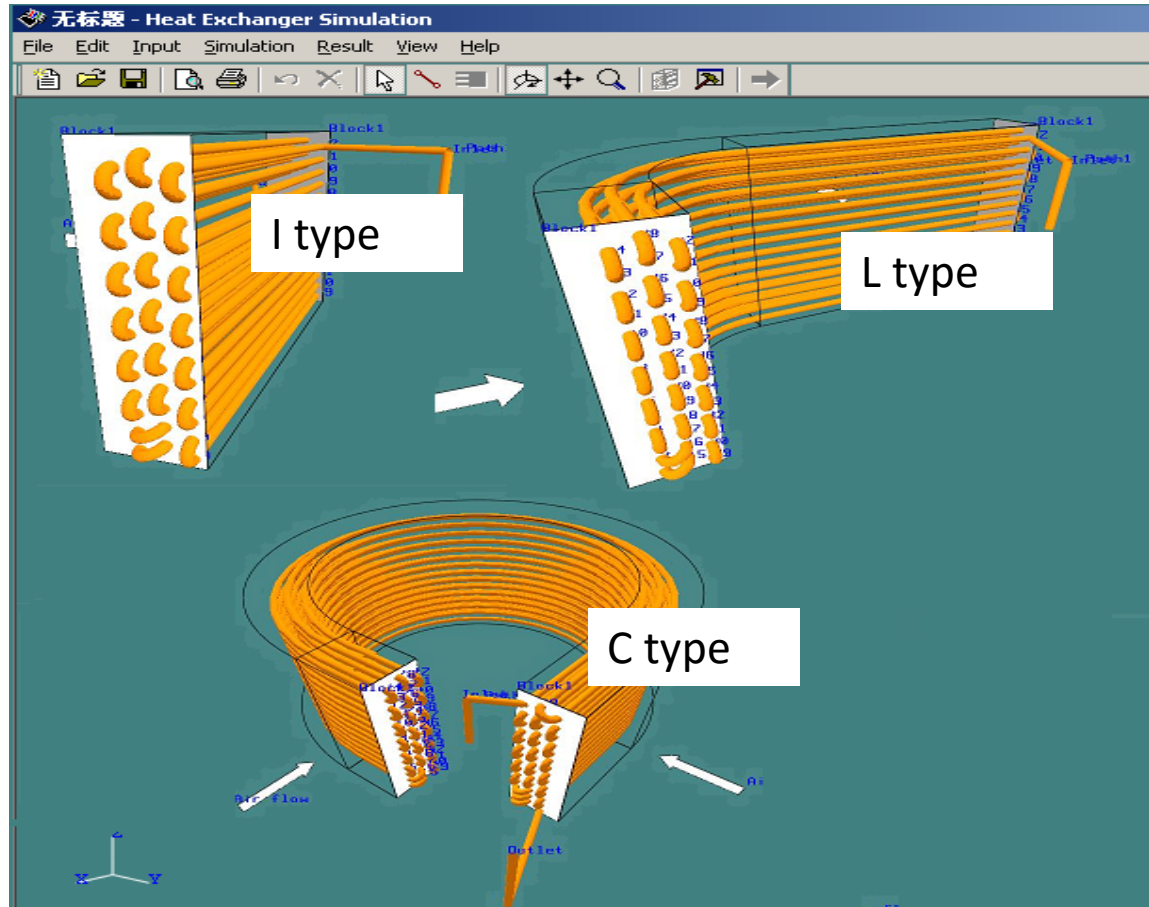
翅片管式换热器的类型



Various fin and tube structure and 3 kinds refrigerants



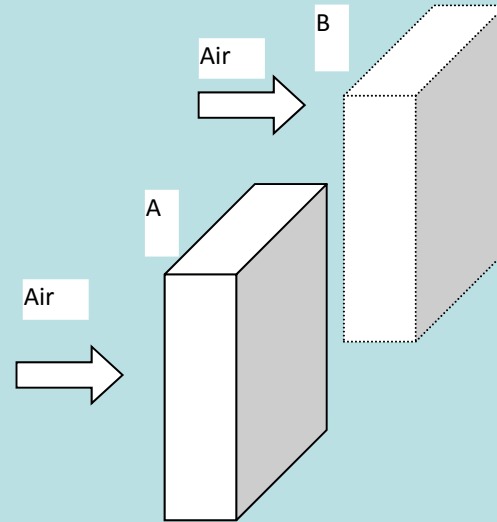
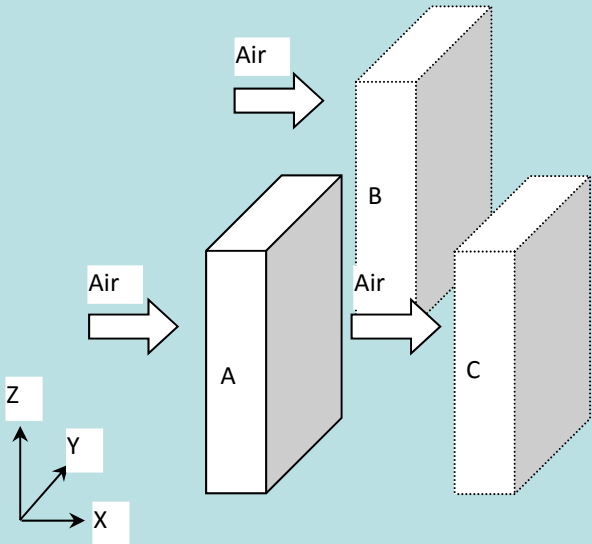
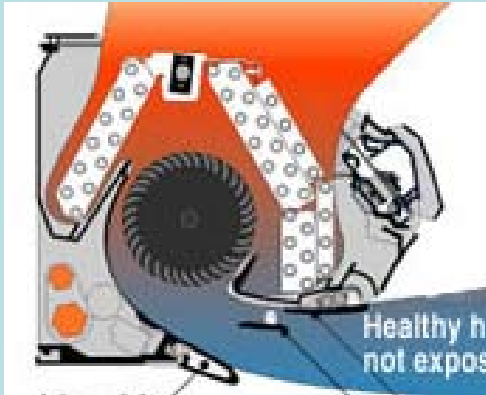
要可以描述不同的换热器形状态



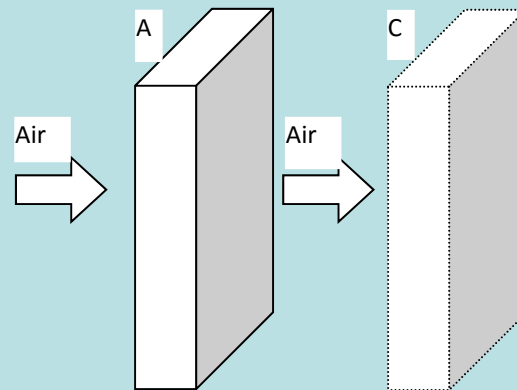
三种基本的形式，可组成其余的形式



适用于多个换热块的位置排列



Parallel



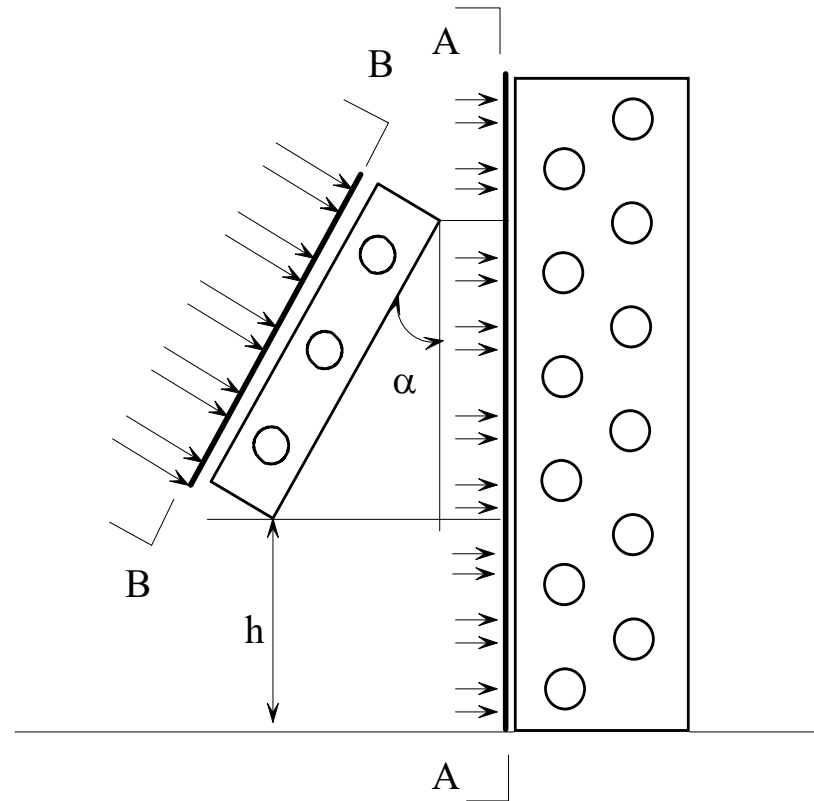
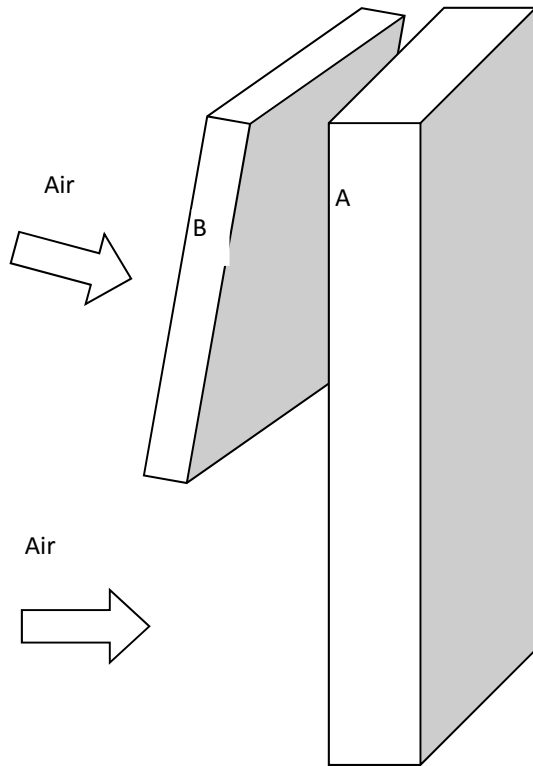
Serial



上海交通大学

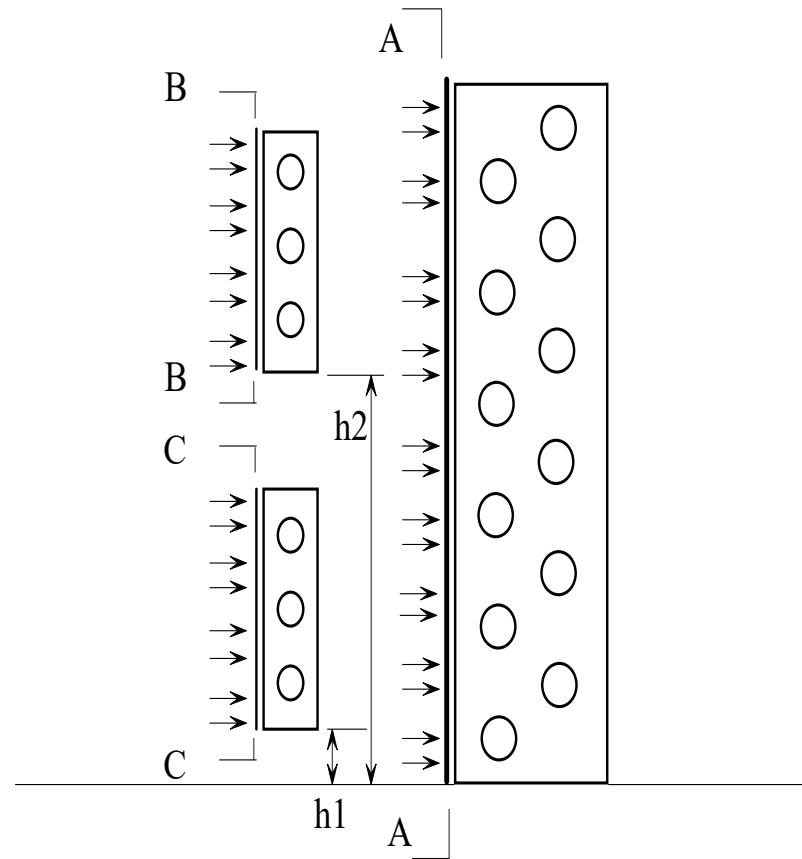
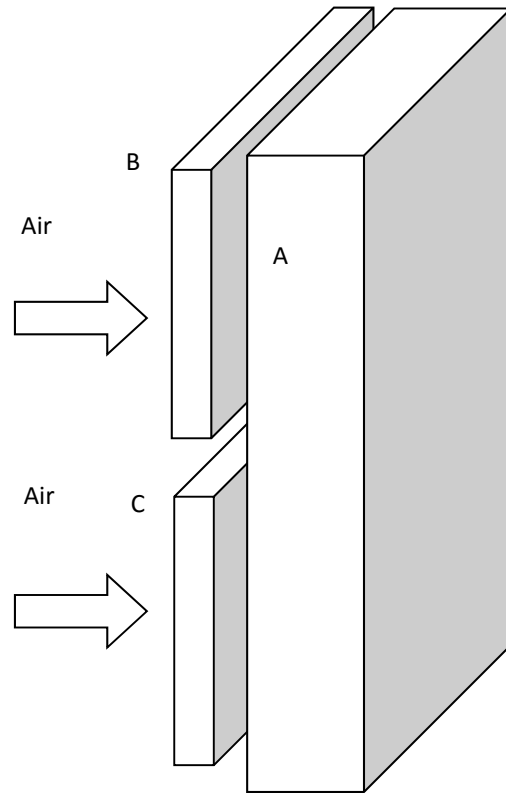
Shanghai Jiao Tong University

“一主一从” 换热块组合



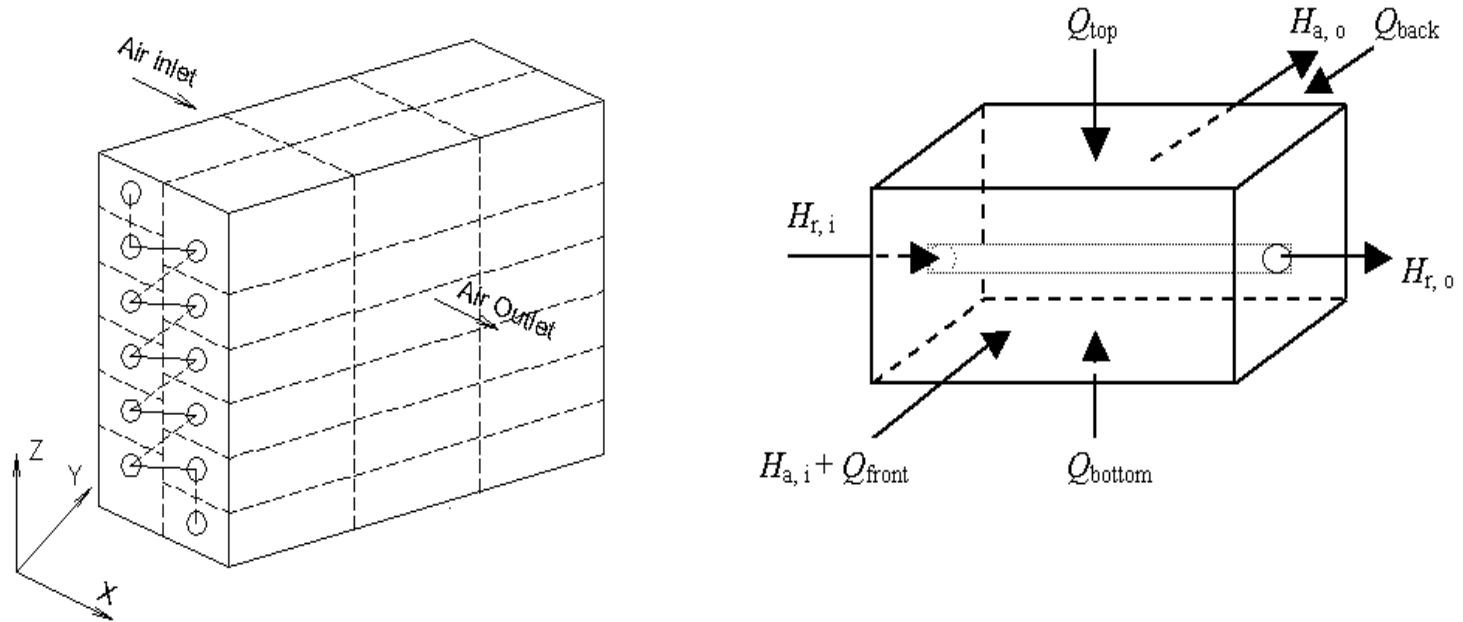


“一主二从” 换热块组合





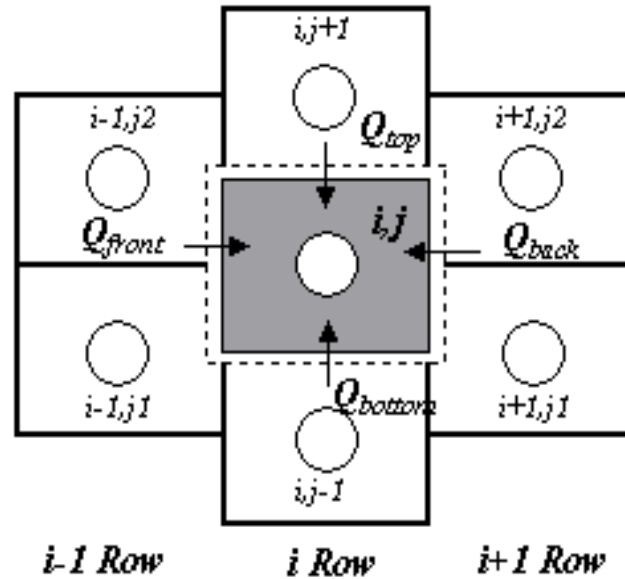
三维分布参数模型



Schematic diagram of typical control volume



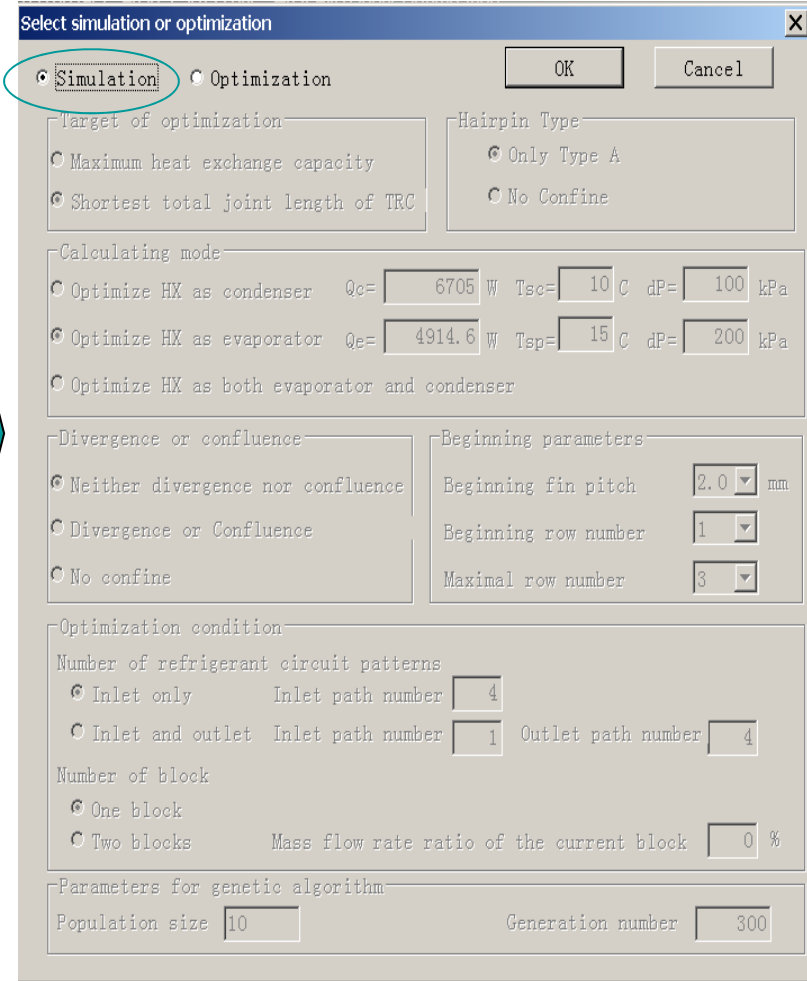
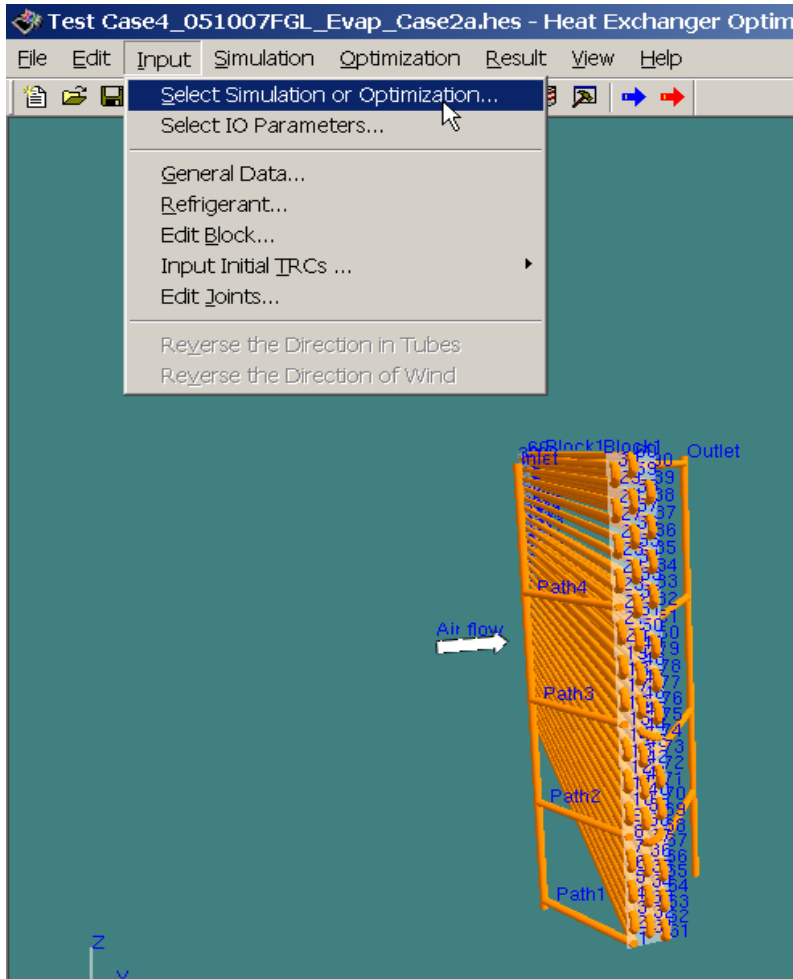
考虑相邻管子通过翅片的导热



$$Q_r + Q_a + Q_{front} + Q_{back} + Q_{top} + Q_{bottom} = 0$$



可选择“仿真”或“优化”

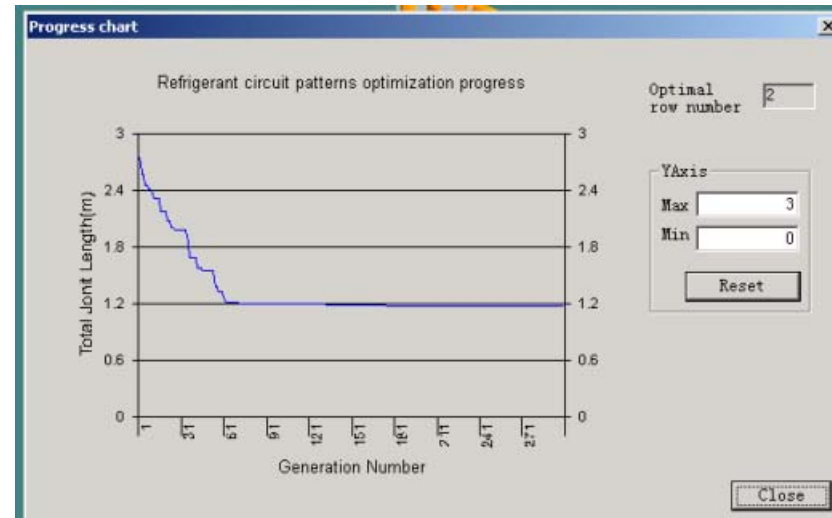
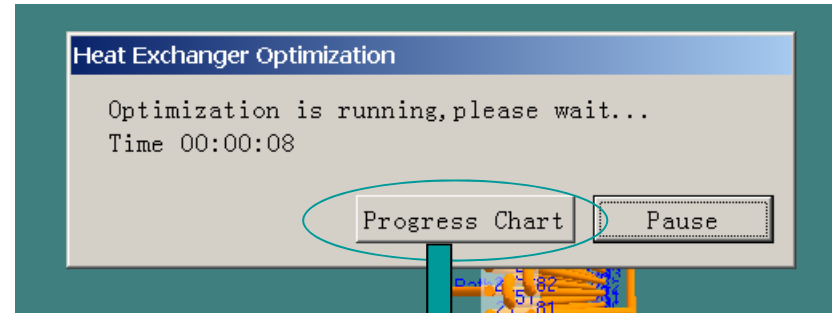
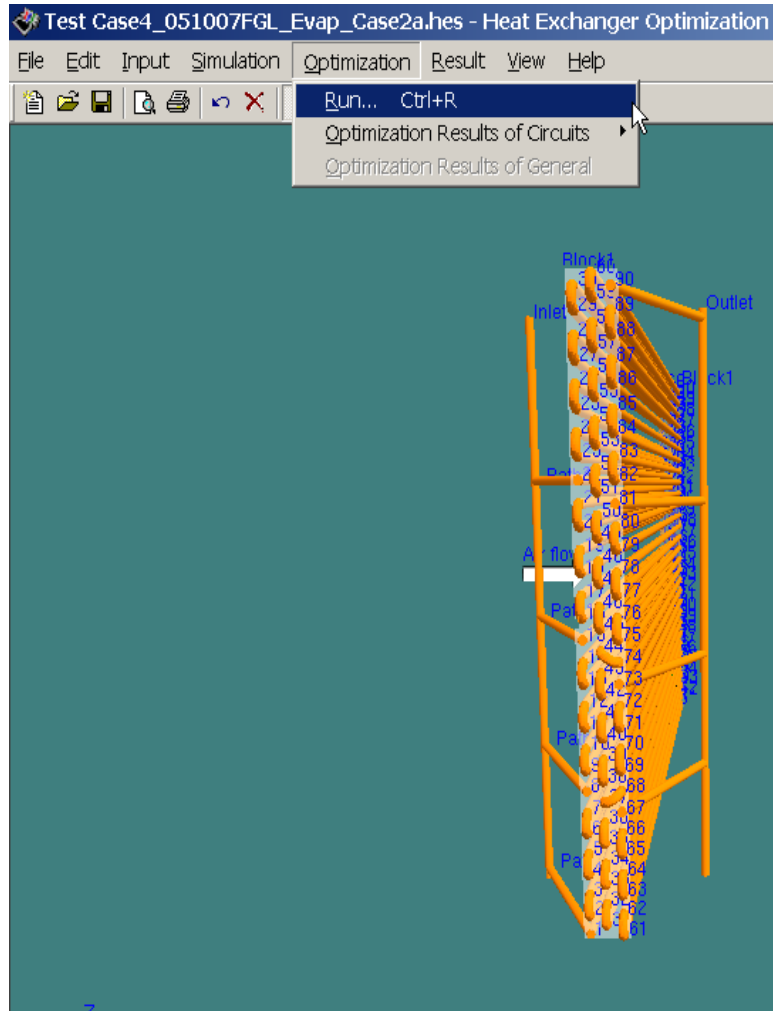




上海交通大学

Shanghai Jiao Tong University

优化时的进程显示





参数输入界面

The screenshot displays the main software window titled "081013_Evap_Gree_5mm_Given_3path_00.hes - Heat Exchanger Simulation" with a menu bar (File, Edit, Input, Simulation, Result, View, Help) and a toolbar. Several dialog boxes are open, each with red annotations:

- Input**: A dialog box for block configuration. It includes fields for "Block type" (set to "type"), "Row number" (3), "Depth" (34.2 mm), "Height" (228.6 mm), and "Ambient Temperature" (27 C). The "Tubes" button is circled in red. It also has options for "Direction of Air Flow" (From left to right), "Sub block" settings, "Fin" type (LouverFin), and "Fin Name" (NotFromDB). The "Fins" button is circled in red.
- Refrigerant**: A dialog box for refrigerant properties. It shows "Refrigerant" as R410A, "Oil" as No, "Mass fraction of Oil" as 0%, "Pressure" as 3058 kPa, and "Mass flow rate" as 30 g/s. It includes options for "Specify inlet refrigerant distribution" (Default selected) and "Correction factor for total heat exchange".
- Tube Types**: A dialog box for tube specifications. It lists "Tube Name" (Tube_kelc), "Outside diameter" (5.31 mm), "Thickness" (0.21 mm), "Fin height" (0.14 mm), "Fin helix angle" (18°), "Fin apex angle" (41°), "Fin space" (0.34 mm), and "Fin number" (40). It also has "Correction factor for heat transfer" and "Correction factor for pressure drop" fields.
- Inlet air**: A dialog box for air inlet parameters. It features a table for setting values for selected cells (CV1, CV2, CV3, CV4) across 10 columns. The "Update" button is highlighted.
- Fin types**: A dialog box for fin specifications. It includes "Fin Name" (LouverFin_k), "Thickness" (0.108 mm), "Tube collar diameter" (5.52 mm), "Longitudinal tube pitch" (11 mm), "Transverse tube pitch" (19 mm), "Height louver" (1.2 mm), "Pitch louver" (1.2 mm), and "Angle louver" (31.85°).

At the bottom of the main window, a status bar shows: "Ready", "Viewport angle: 328 and height: 199", "Blocks (1:0)", "Tubes (36)", "Joints (41)", and "Paths (5:0)".

换热器结构参数

换热器工况参数

强化管结构参数

空气入口参数

翅片结构参数



081013_Cond_Gree_5mm_Improved_01.hes - Heat Exchanger Simulation

File Edit Input Simulation Result View Help

结果输出界面

Outlet Inlet Path6 Path1

Air flow

Block1

General results

Heat Exchange 4343.024 W

Pressure Drop 30.877 kPa

Refrigerant Weight 239.006 g

Refrigerant of inlet

Pressure 1855.100 kPa Temperature 68.568 C

Enthalpy 437.650 kJ/kg Mass Quality 1.130

Superheat 20.567 C Mass Flow Rate 23.000 g/s

Refrigerant of outlet

Pressure 1824.223 kPa Temperature 39.429 C

Enthalpy 248.843 kJ/kg Mass Quality -0.067

Subcooling 7.851 C

Block1

Heat Capacity 4339.979 W

Air flow 1991.380 m3/h

Air of inlet

Tdb 35.000 C Twb 24.000 C

Pressure 101.300 kPa

Air of outlet

Tdb 42.108 C

Pressure 101.288 kPa

性能结果输出

表格输出

Tube Path	Block	Row	Column	Control volume	Velocity(In) (m/s)	Velocity(Out) (m/s)	Tdb(In) (C)	Tdb(Out) (C)	Twb(In) (C)
2	1	1	2	3	1.11	1.08	27.00	18.61	19.00
2	1	1	2	2	1.11	1.08	27.00	18.85	19.00
2	1	1	2	1	1.11	1.00	27.00	10.51	19.00
1	1	1	1	1	1.11	1.00	27.00	10.69	19.00
1	1	1	1	2	1.11	1.00	27.00	10.86	19.00
1	1	1	1	3	1.11	1.00	27.00	10.57	19.00
13	1	2	1	3	1.08	1.07	18.57	14.94	16.13
13	1	2	1	2	1.08	1.07	18.88	14.84	16.24
13	1	2	1	1	1.08	1.07	18.88	14.88	16.18
14	1	2	2	1	1.06	1.06	18.59	14.76	16.15
14	1	2	2	2	1.06	1.06	18.86	14.72	16.23
14	1	2	2	3	1.06	1.06	18.59	14.67	16.14
15	1	2	3	3	1.06	1.06	18.56	14.50	16.14
15	1	2	3	2	1.06	1.06	18.02	14.40	16.22
					1.06	1.06	18.46	14.37	16.10
					1.06	1.06	18.36	14.25	16.08
					1.06	1.06	18.65	14.17	16.16
					1.06	1.06	18.33	14.11	16.04

3D图像输出

Temperature(C)

74.94

72.02

69.10

66.18

63.27

60.35

57.43

54.51

51.60

48.68

45.76

Ready

Viewport angle:60 and height:8

Blocks(1:0) Tubes(52) Joints(56) Paths(6:0)



上海交通大学

Shanghai Jiao Tong University

实例：某R410A蒸发器7 mm → 5 mm优化设计

——蒸发器结构和工况参数输入

Input

Block1 | Block type: **l type** | Row number: 2 | Rows: **Tubes**

Depth: 22 mm | Height: 500 mm | Ambient Temperature: 35 °C | **Inlet air**

Direction of Air Flow: From left to right | From right to left

Subordinates to: No

Fin type: **LouverFin** | Continuous fin

Fin Name: **LouverFin** | **Fins** | Separated fin

Fin pitch: 1.4 mm | Min: 10 | Max: 50 | Step: 1

Section Length: 588 mm | Control volume number: 4

蒸发器结构参数

Tube Types

Smooth Enhanced | **强化管结构参数**

Tube Name: Tube_keloi

Outer diameter: 5.31 mm | Thickness: 0.21 mm

Fin height: 0.14 mm | Fin helix angle: 18 °

Fin apex angle: 41 ° | Fin space: 0.34 mm

Fin number: 40

Correction factor for heat transfer: 1 | Correction factor for pressure drop: 1

Inlet air

Velocity | Dry-bulb temperature | Wet-bulb temperature | Pressure

Set values of the selected cells

Column	CV1	CV2	CV3	CV4
1	1.790	1.790	1.790	1.790
2	1.790	1.790	1.790	1.790
3	1.790	1.790	1.790	1.790
4	1.790	1.790	1.790	1.790
5	1.790	1.790	1.790	1.790
6	1.790	1.790	1.790	1.790
7	1.790	1.790	1.790	1.790
8	1.790	1.790	1.790	1.790
9	1.790	1.790	1.790	1.790
10	1.790	1.790	1.790	1.790

空气入口参数

Refrigerant

Refrigerant: **R410A** | Oil: No

Mass fraction of Oil: 0 % | Pressure: 3058 kPa

Mass flow rate: 30 g/s | Enthalpy: 463 kJ/kg

Specify inlet refrigerant distribution: Default

Correction factor for the total heat exchange: **蒸发器工况参数**

Fin types

Wavy fin | **翅片结构参数**

Fin Name: LouverFin_R1

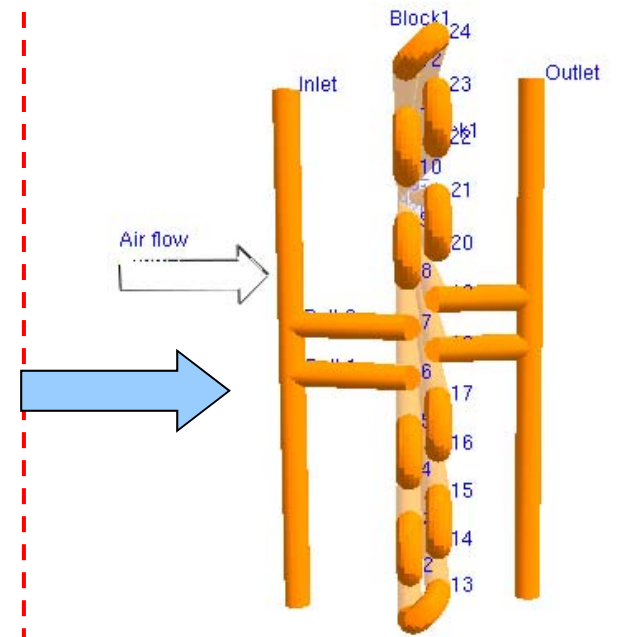
Thickness: 0.105 mm | Tube collar diameter: 5.52 mm

Longitudinal tube pitch: 11 mm | Transverse tube pitch: 19 mm

Height louver: 1.2 mm | Pitch louver: 1.2 mm

Angle louver: 31.85 °

Correction factor for heat transfer: 1 | Correction factor for pressure drop: 1



仿真软件生成的蒸发器3D模型



上海交通大学

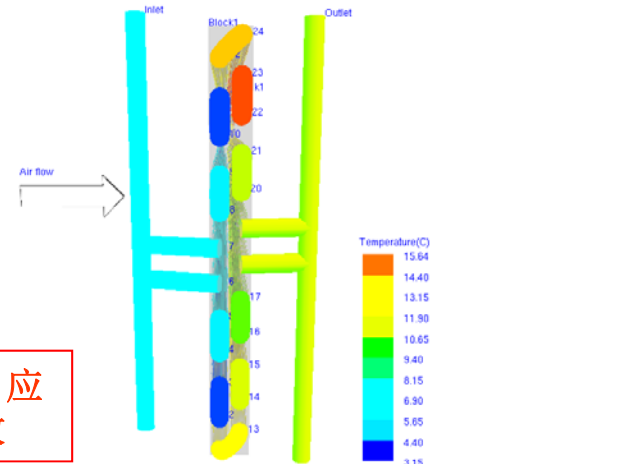
Shanghai Jiao Tong University

实例：某R410A蒸发器7 mm → 5 mm优化设计

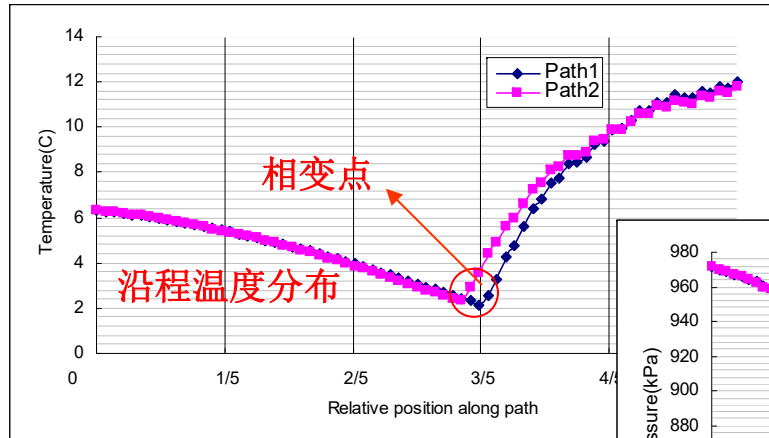
——5 mm管直接代替

使用5mm管直接代替的仿真结果

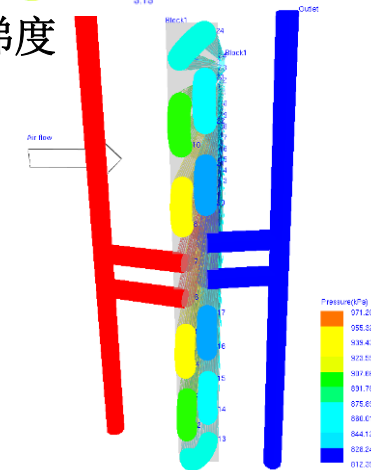
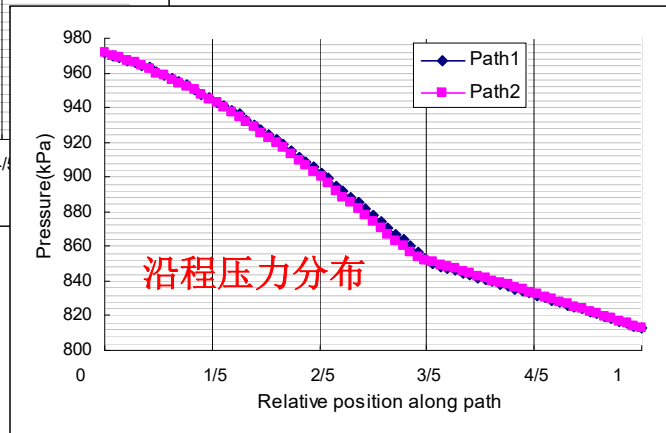
连接	换热量 (W)	换热量增加	压降 (kPa)	压降增加
5mm替代	3369.5	1.5% ↑	145.2	251.6% ↑
原蒸发器	3318.6	--	41.3	--



温度梯度



压降过大，应增加分路数



压力梯度

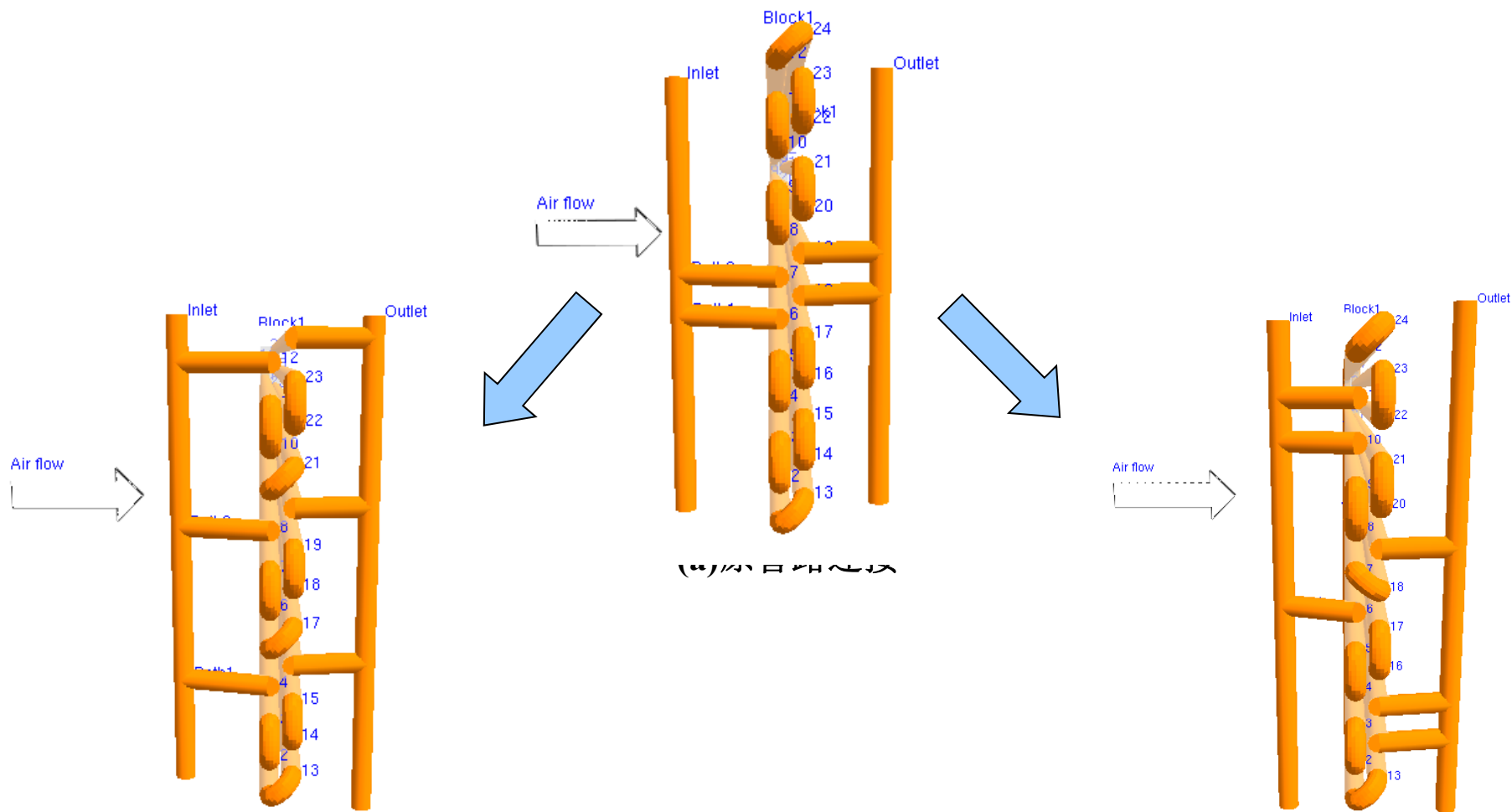


上海交通大学

Shanghai Jiao Tong University

实例：某R410A蒸发器7 mm → 5 mm优化设计

——3Path管路连接优化



(b)3Path 均匀布管

(c)3Path 非均匀布管

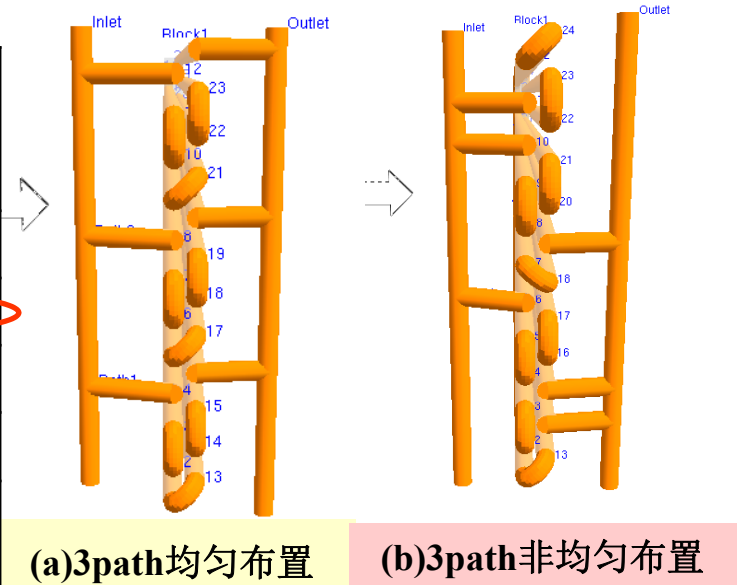


实例：某R410A蒸发器7 mm → 5 mm优化设计

——3Path管路连接小结

3Path优化结果

连接	图示	片距	换热量 (W)	同7mm管比较换热量增加	压降 (kPa)	同7mm比较压降增加
均匀	(a)	19FPI	3321.6	0.1% ↑	54.8	32.7% ↑
均匀	(a)	20FPI	3336.0	0.5% ↑	55.6	34.6% ↑
非均匀	(b)	19FPI	3326.0	0.2% ↑	54.7	32.4% ↑
非均匀	(b)	20FPI	3336.2	0.5% ↑	55.8	35.1% ↑
5mm替代	--	19FPI	3369.5	1.5% ↑	145.2	251.6% ↑
原蒸发器	--	19FPI	3318.6	--	41.3	--



(a)3path均匀布置 (b)3path非均匀布置

优化后的3Path管路连接

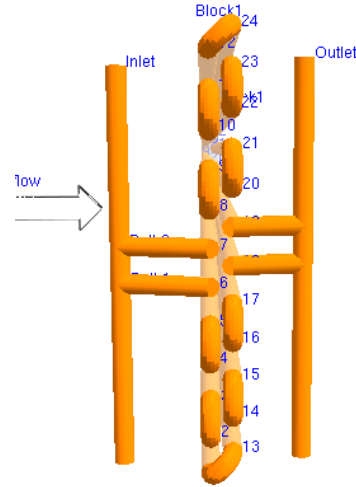
推荐采用的3Path优化方案



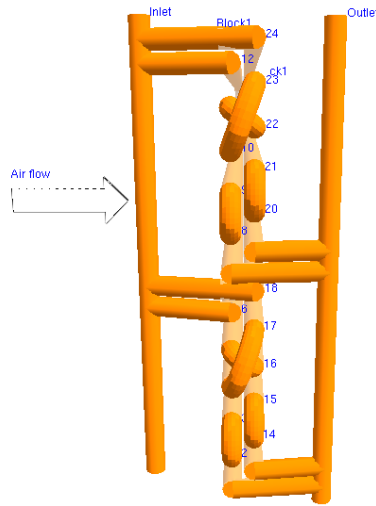
上海交通大学

Shanghai Jiao Tong University

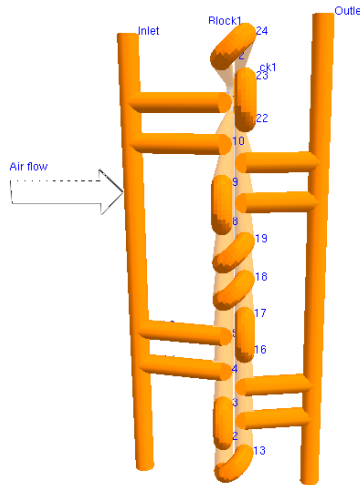
实例：某R410A蒸发器7 mm → 5 mm优化设计 —4Path管路连接优化



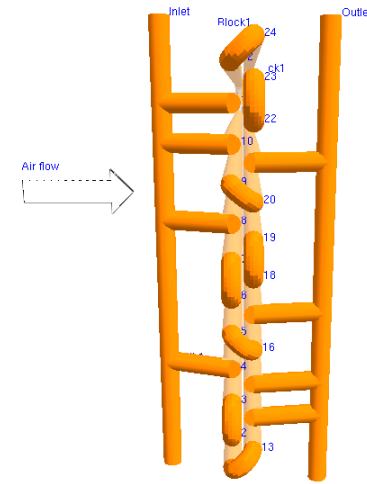
(a)原管路连接



(b) 4Path X型布管



(c)对称布管



(d)非均匀布管



上海交通大学

Shanghai Jiao Tong University

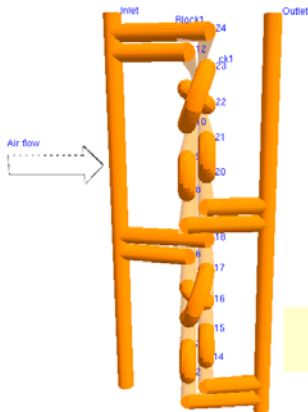
实例2：某R410A蒸发器7 mm → 5 mm优化设计

—4Path管路连接小结

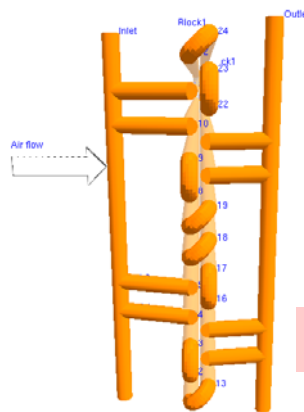
4Path优化结果

连接	图示	片距	换热量 (W)	同7mm管比较换热量增加	压降 (kPa)	同7mm管比较压降增加
X型	(a)	19FPI	3357.2	1.2% ↑	26.2	-36.6% ↓
X型	(a)	20FPI	3374.2	1.7% ↑	26.6	-35.6% ↓
对称	(b)	19FPI	3300.8	-0.5% ↓	26.0	-37.0% ↓
对称	(b)	20FPI	3303.4	-0.5% ↓	26.2	-36.6% ↓
非均匀	(c)	19FPI	3298.7	-0.6% ↓	26.0	-37.0% ↓
非均匀	(c)	20FPI	3304.0	-0.4% ↓	26.2	-36.6% ↓
原管路5mm	--	19FPI	3369.5	1.5% ↑	145.2	251% ↑
原管路7mm	--	19FPI	3318.6	--	41.3	--

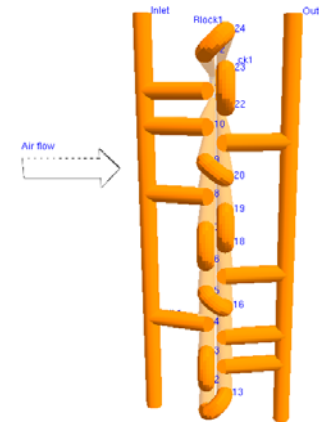
推荐采用的4Path优化方案



(a)4path X型布管



(b)4path 对称布管



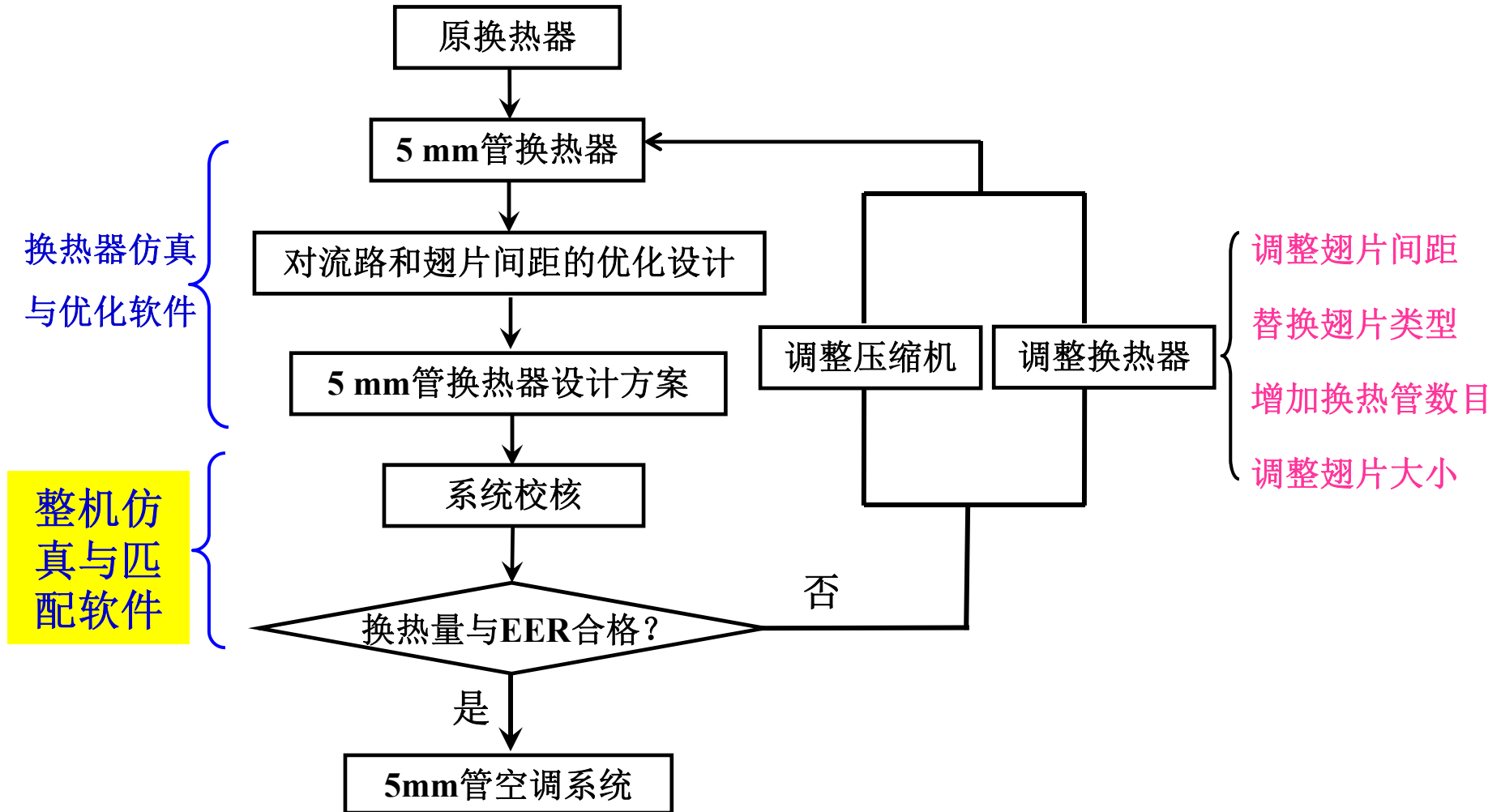
(c)4path 非均匀布管



1. 小管径问题概述
2. 管内制冷剂传热与流动特性
3. 翅片侧传热流动模拟与翅片设计
4. 换热器热力性能模拟与优化设计
5. 整机热力性能模拟与优化设计
6. 降噪与长效
7. 结论



优化设计思路





上海交通大学

Shanghai Jiao Tong University

一拖一的空调器仿真-输入界面

欢迎使用房间空调仿真软件演示版

高效空调(B) 压缩机计算(Q) 毛细管计算(W) 冷凝器计算(R) 蒸发器计算(E) 制冷系统仿真(Y) 制冷剂(R) 帮助(O)

压缩机参数输入

压缩机型号: 20K33
活塞容积: 17.30
转速: 2950 r/min

蒸发器参数输入

工况: 空气侧 进口干球温度: 26 °C 出口湿球温度: 24 °C 空气体积流量: 4000 m³/h
换热管有效管长: 0.685 m
换热管壁厚: 0.2 mm
换热管管数: 22
换热管外径: 5 mm
换热管排数: 1
管管后换热管外径: 5.4 mm
分路数: 5
翅片结构参数: 翅片类型: 0 翅片厚度: 0.105 mm 翅片宽: 44 mm 翅片间距: 1.4 mm 翅片长: 0.6 mm

冷凝器参数输入

工况: 空气侧 进口干球温度: 27 °C 出口湿球温度: 19 °C 空气体积流量: 300 m³/h
翅片有效管长: 0.68 m
翅片类型: 0 翅片厚度: 0.2 mm 翅片宽: 52 mm 翅片间距: 1.4 mm 翅片排数: 2
管管后换热管外径: 5.4 mm
分路数: 7
翅片结构参数: 翅片类型: 2 翅片厚度: 0.105 mm 翅片宽: 47.61 mm 翅片间距: 1.6 mm 翅片长: 0.305775 m

节流装置参数输入

毛细管参数
直径: 1.4 mm
管长: 700 mm
管数: 1

参数输入界面

制冷系统循环

压缩机

蒸发器

冷凝器

节流装置



上海交通大学

Shanghai Jiao Tong University

一拖一的空调器仿真-输出界面

欢迎使用房间空调仿真软件演示版

高效空调 (E) 压缩机计算 (C) 毛细管计算 (M) 冷凝器计算 (R) 蒸发器计算 (E) 制冷系统仿真 (Y) 制冷剂 (Z) 帮助 (H)

蒸发器计算结果	出口压力	入口焓值	空气侧进口干球温度	制冷剂质量流量	空气体积流量	过热度	换热量	出口焓值
仿真次数	输入参数 (MPa)	输入参数 (kJ/kg)	输入参数 (°C)	输入参数 (g/s)	输入参数 (m ³ /s)	输出参数 (°C)	输出参数 (J)	输出参数 (kJ/kg)
1	.95	265	27	30	.1	0.00	318.13	31.56
2	.95	265	27	30	.2	2.00	1.01	4665.33
3	.95	265	27	30	.3	0.00	0.00	783.04
4	.95	265	27	30	.4	31.56	4.00	1.01
5	.95	265	27	30	.5	4665.33	0.00	0.00
6	.95	265	27	30	.6	1699.63	21.57	6.00
7	.95	265	27	30	.7	1.01	4421.75	0.00

Figure 1

换热量结果

Figure 1

Figure 1

过热度结果

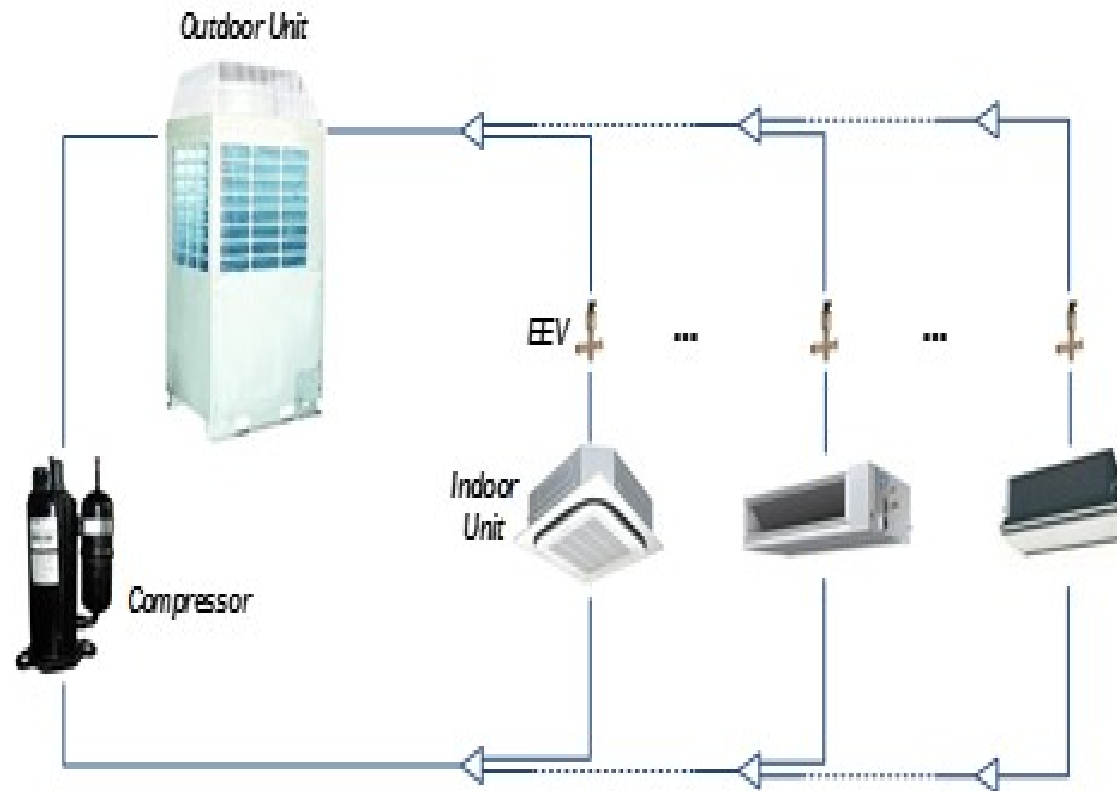
结果输出界面



上海交通大学

Shanghai Jiao Tong University

一拖多空调的仿真





主界面

Main menu and tool bar

New Save Connect Delete Select
Open Help Rotate Align Simulate

Component list

Drawing area

Status bar

The screenshot displays a software interface for a hydraulic simulation. At the top, there is a menu bar with options: File, Options, System, Components, Simulate, Results, and Help. Below the menu bar is a toolbar with icons for New, Open, Save, Help, Connect, Rotate, Delete, Align, and Simulate. On the left side, there is a vertical component list containing various hydraulic symbols such as pumps, valves, heat exchangers, and tanks. The central drawing area shows a complex hydraulic circuit diagram with eight numbered components: 1 (pump), 2 (heat exchanger), 3 (valve), 4 (valve), 5 (heat exchanger), 6 (valve), 7 (heat exchanger), and 8 (reservoir). The status bar at the bottom shows 'Ready', 'default', 'X Position:2002 and Y Position:908', and 'SCRL'.

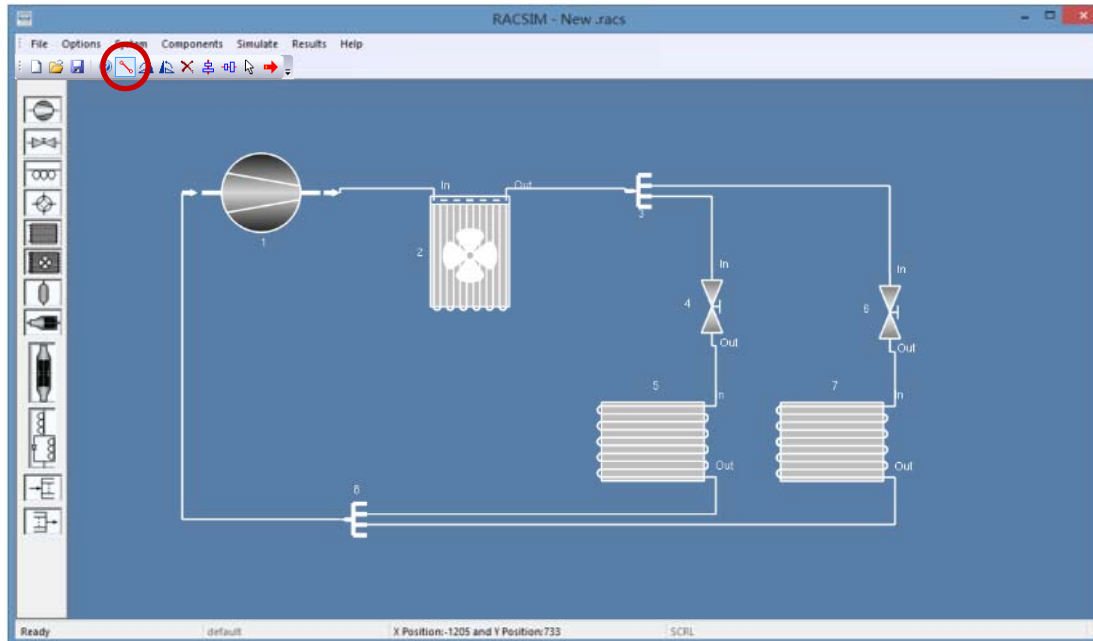


上海交通大学

Shanghai Jiao Tong University

软件实现

➤ 定义管子



Step 1: Select the component

Step 2: Click the blank drawing area

**Step 3: Create all the components
as step1 and step 2**

Step 4: Select connecting mode

**Step 5: Click the components one by
one**

**Step 6: Define all the pipelines
as step 4 and step 5**

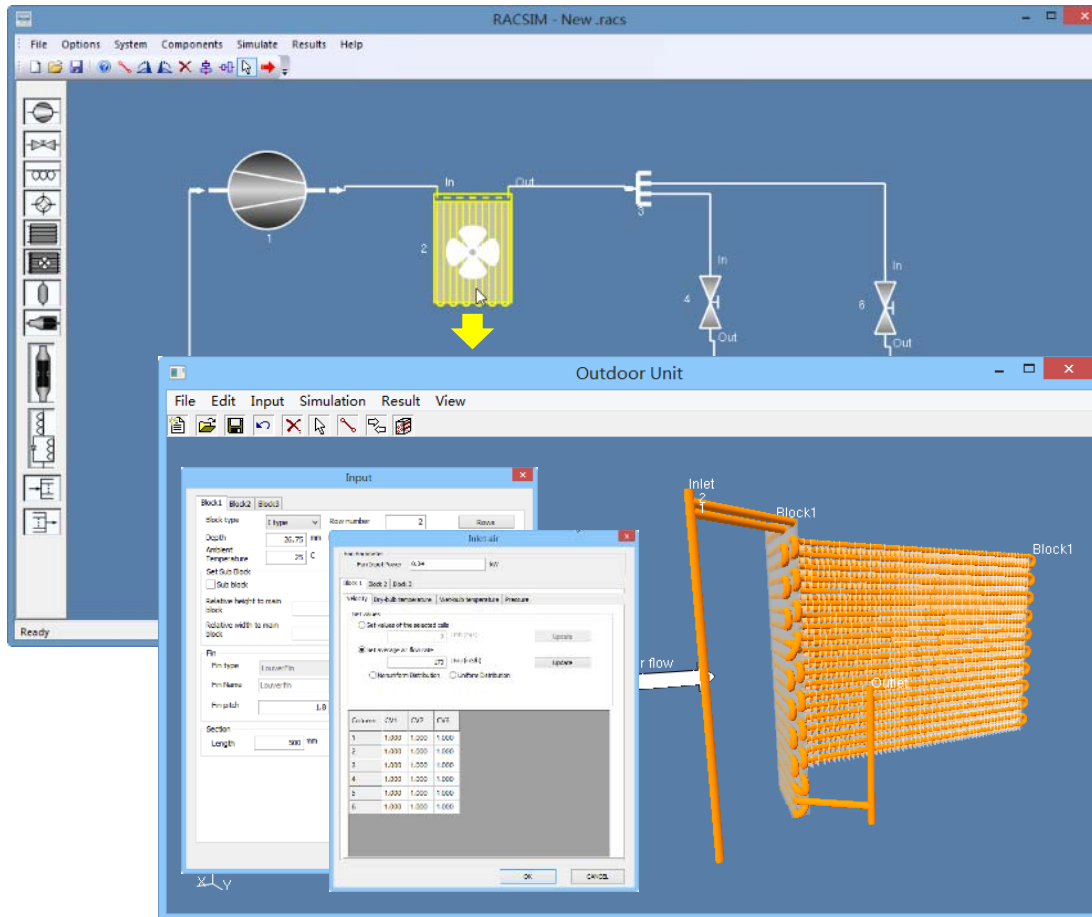


上海交通大学

Shanghai Jiao Tong University

软件实现

部件参数输入-室外机



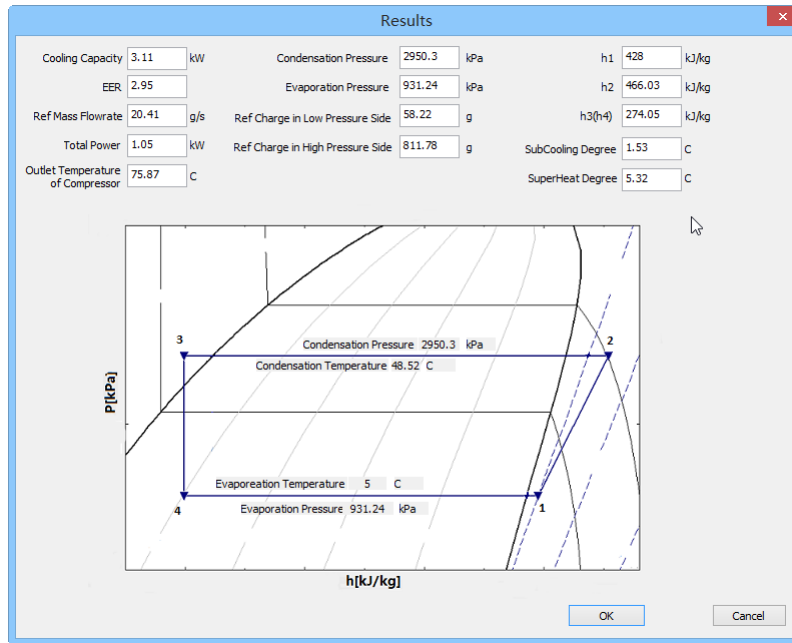
Outdoor unit setting dialog

- Input block structure
- Input tube and fin structures
- Input inlet air status
- Define the flow circuitry



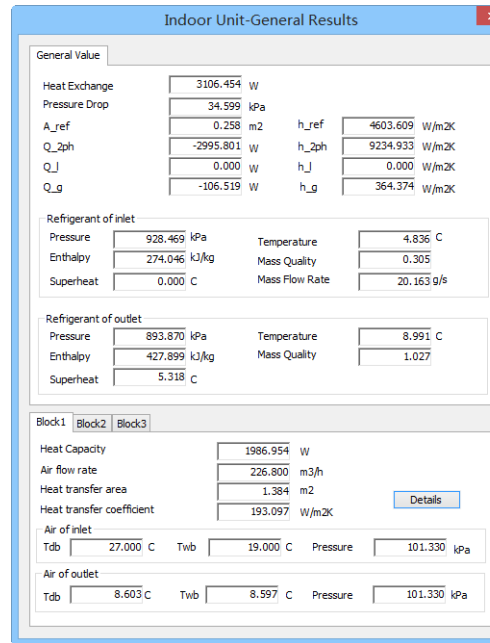
一拖多的空调器仿真输出-表格

- 系统性能结果



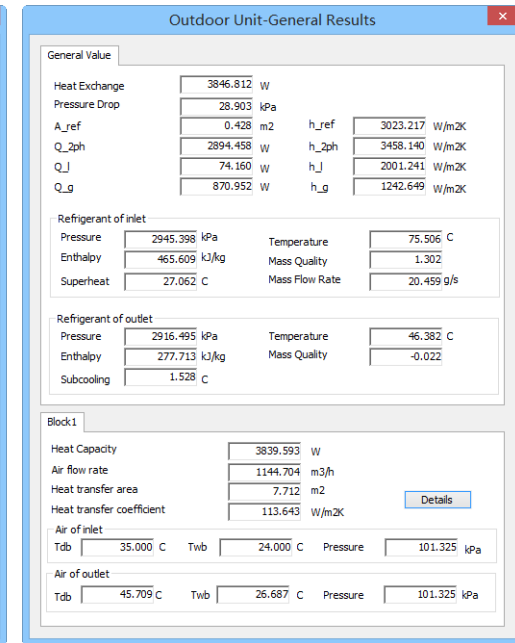
- 制冷量
- EER
- 冷凝温度/压力
- 蒸发温度/压力
- ...

- 室内机结果



- 换热量
- 压降
- 过热度
- 空气侧出口温度
- ...

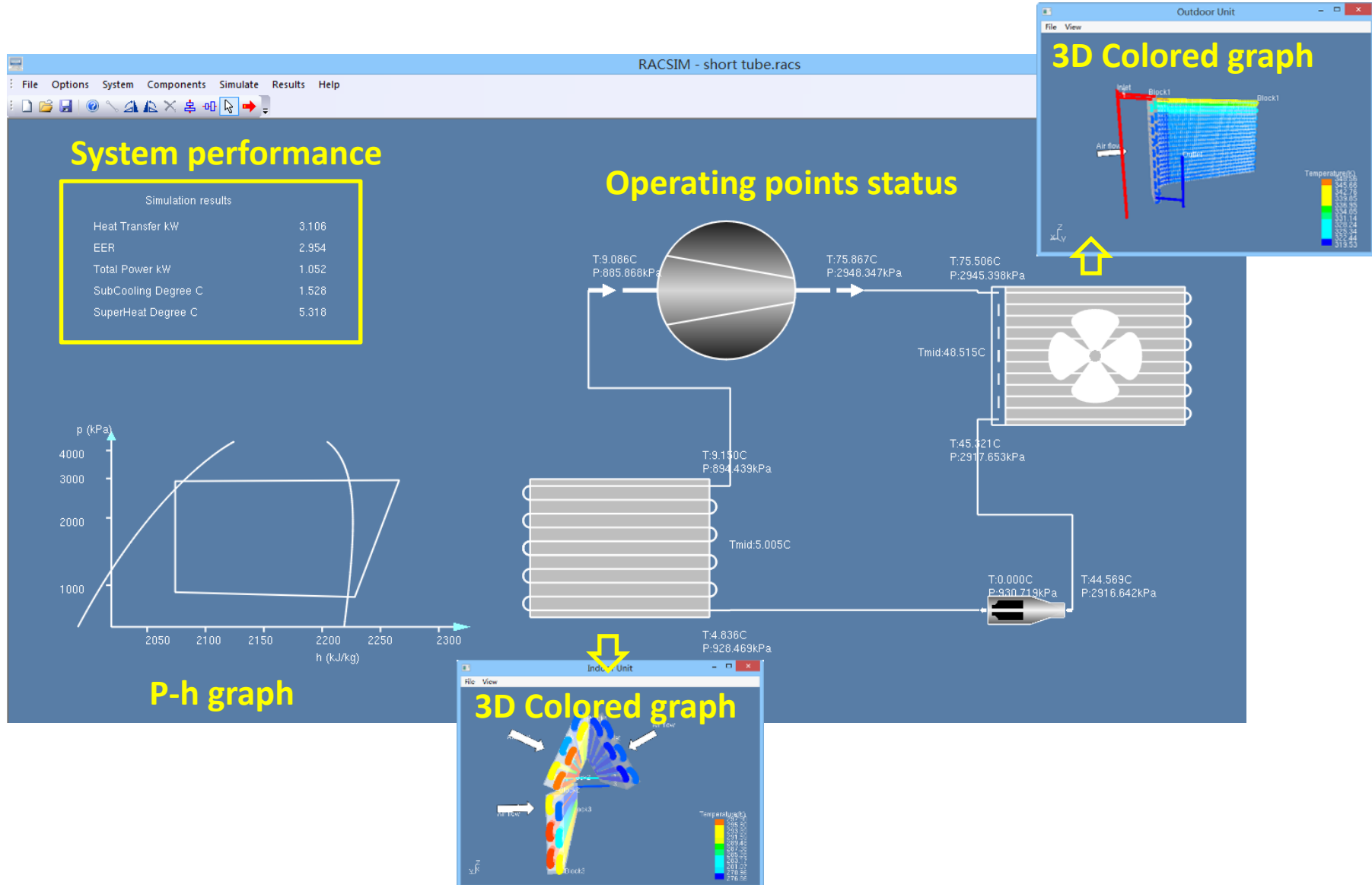
- 室外机结果



- 换热量
- 压降
- 过冷度
- 空气侧出口温度
- ...



一拖多的空调器仿真输出-图形

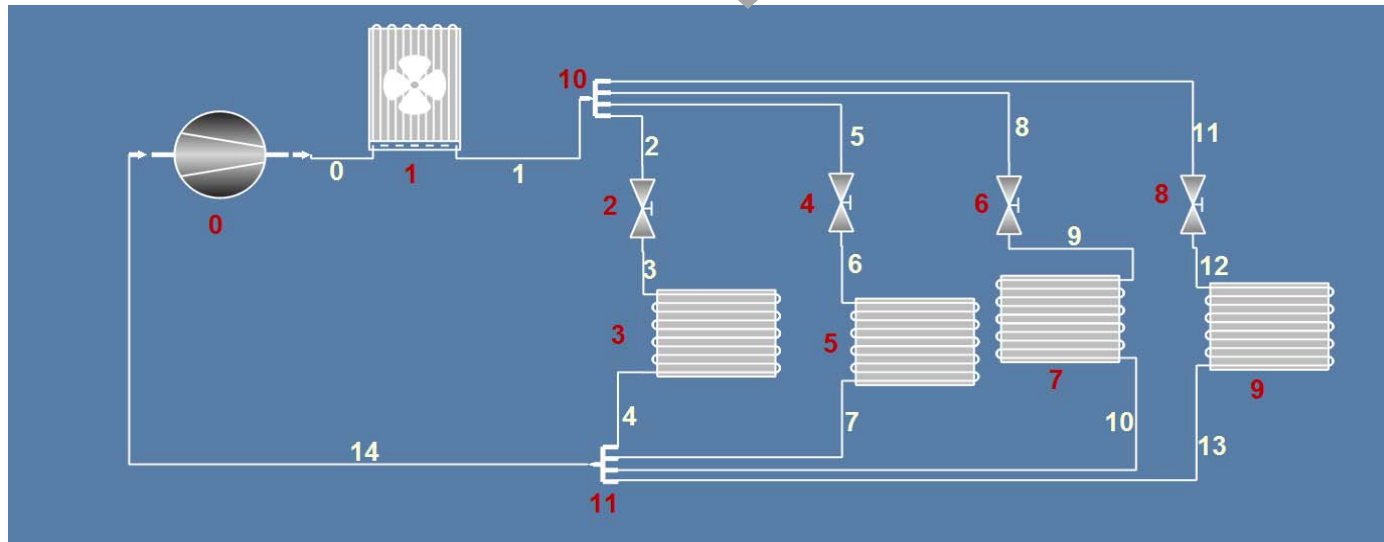
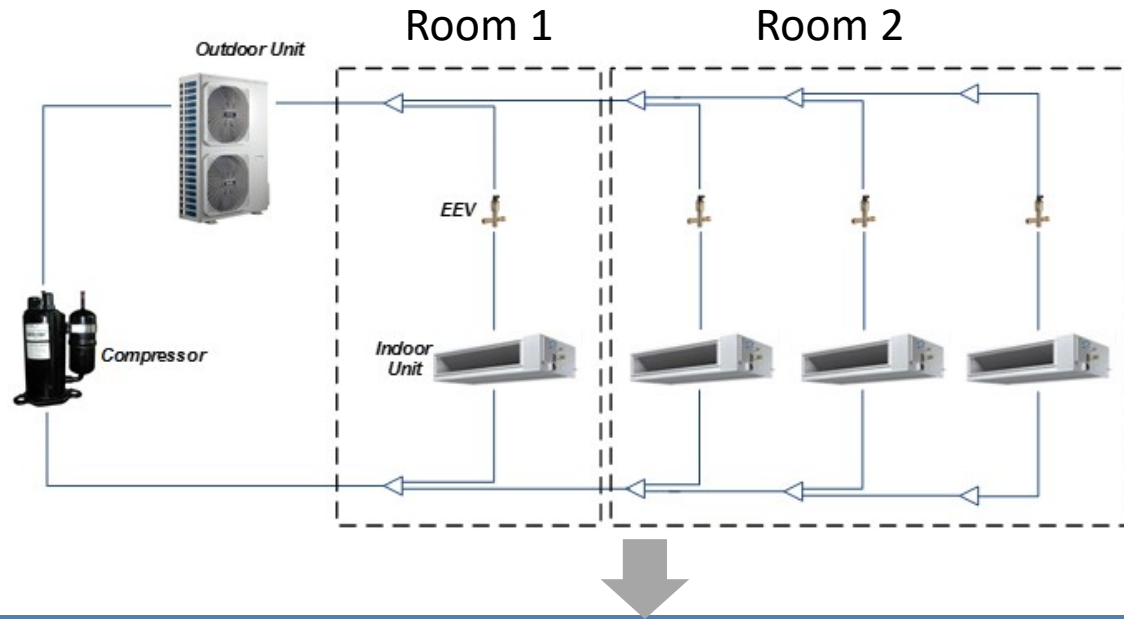




上海交通大学

Shanghai Jiao Tong University

应用实例





➤ 制冷工况

Item	Full load			Half load			Min load		
	Test Data	Simulation Results	Relative Error %	Test Data	Simulation Results	Relative Error %	Test Data	Simulation Results	Relative Error %
Capacity (W)	15.3	15.41	0.72	8.32	8.35	0.36	5.54	5.55	0.18
Power (W)	6.57	6.47	-1.52	2.14	2.09	-2.34	1.4	1.37	-2.14
EER/COP	2.33	2.38	2.15	3.89	4.00	2.83	3.96	4.05	2.27
P _{disc} (°C)	3083	3065	-0.58	2546	2512	-1.34	2609	2555	-2.07
P _{suc} (°C)	861	895.98	4.06	1246	1209	-2.97	1288	1245	-3.34

➤ 制热工况

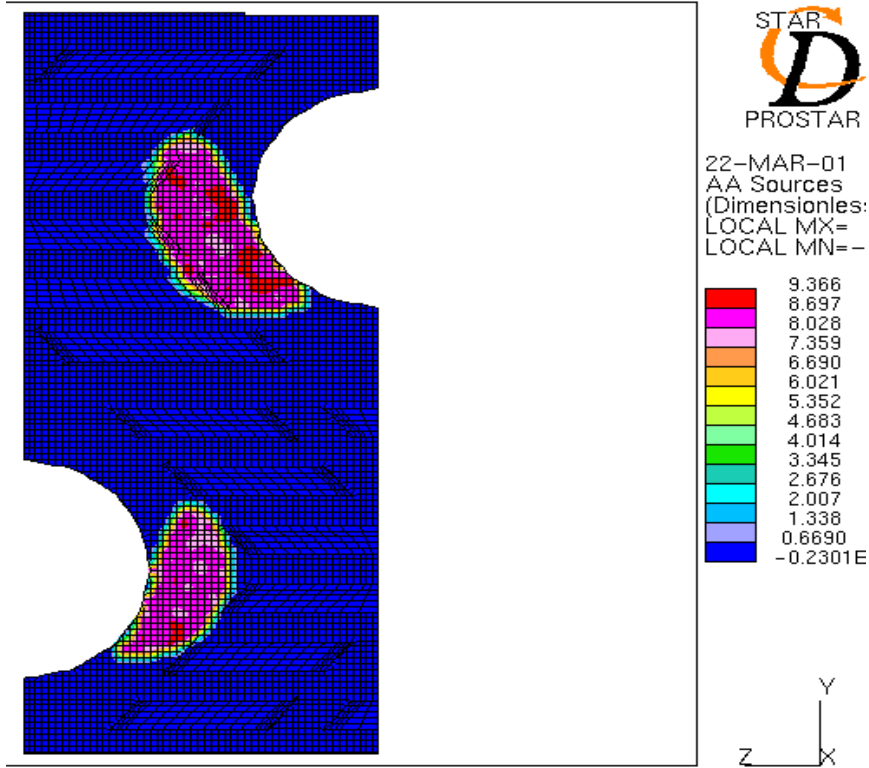
Item	Full load			Half load			Min load		
	Test Data	Simulation Results	Relative Error %	Test Data	Simulation Results	Relative Error %	Test Data	Simulation Results	Relative Error %
Capacity (W)	18.12	18.3	0.99	9.37	9.41	0.43	4.87	4.88	0.21
Power (W)	6.47	6.45	-0.31	2.93	2.9	-1.02	1.65	1.68	1.82
EER/COP	2.80	2.84	1.43	3.20	3.24	1.25	2.95	2.90	-1.69
P _{disc} (°C)	3075	2967	-3.51	2802	2799	-0.11	2445	2462	0.70
P _{suc} (°C)	734	819	11.58	865	844	-2.43	898	896	-0.22



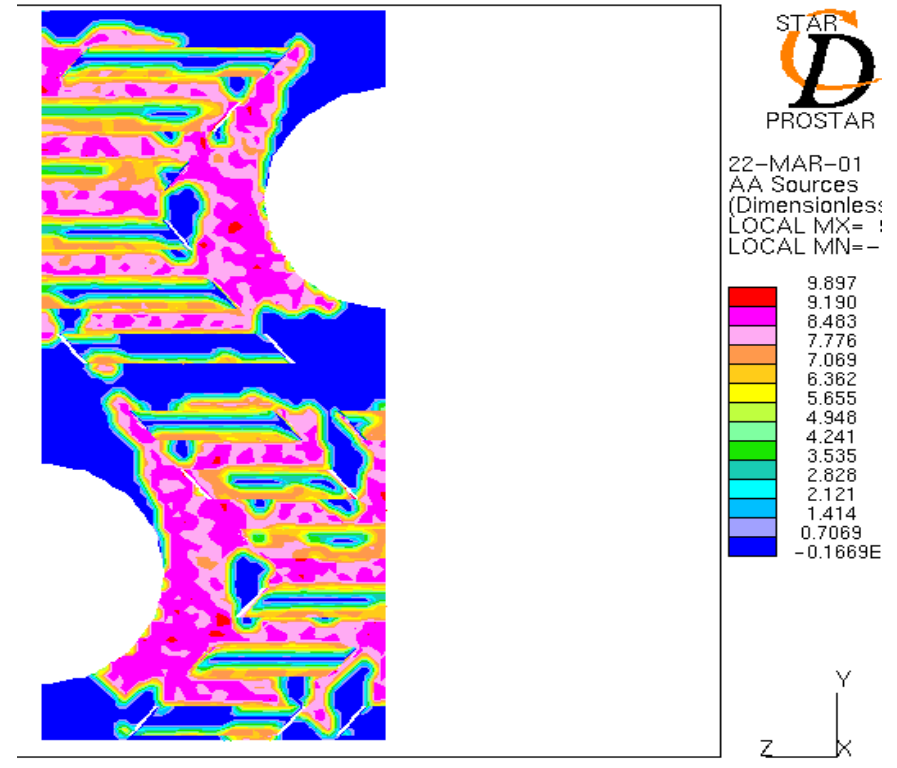
1. 小管径问题概述
2. 管内制冷剂传热与流动特性
3. 翅片侧传热流动模拟与翅片设计
4. 换热器热力性能模拟与优化设计
5. 整机热力性能模拟与优化设计
6. 降噪与长效
7. 结论



翅片气动噪声-计算结果



Sound field of a plain fin



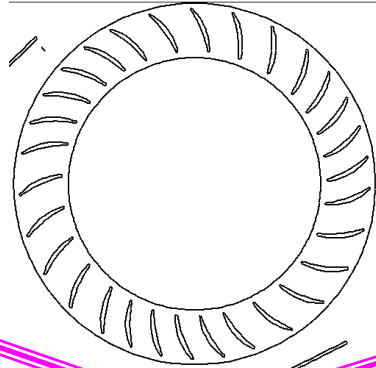
Sound field of a straight strip fin



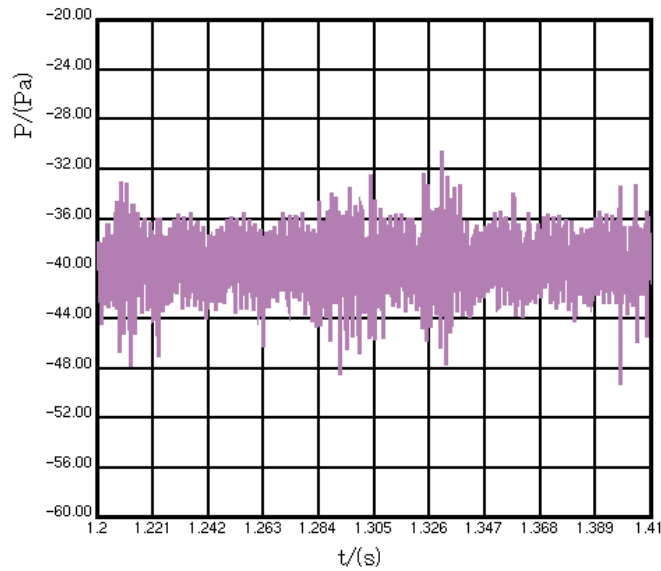
上海交通大学

Shanghai Jiao Tong University

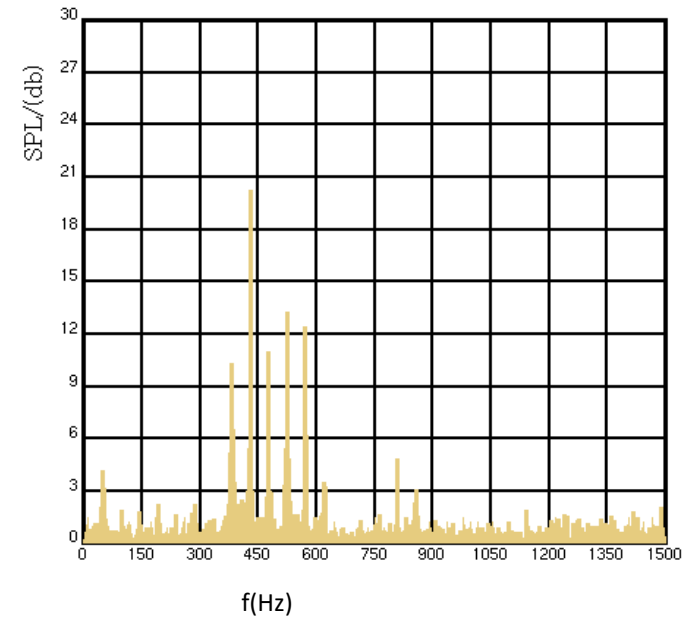
风机气动噪声



Random pitch blades



Pressure fluctuations on the volute tongue



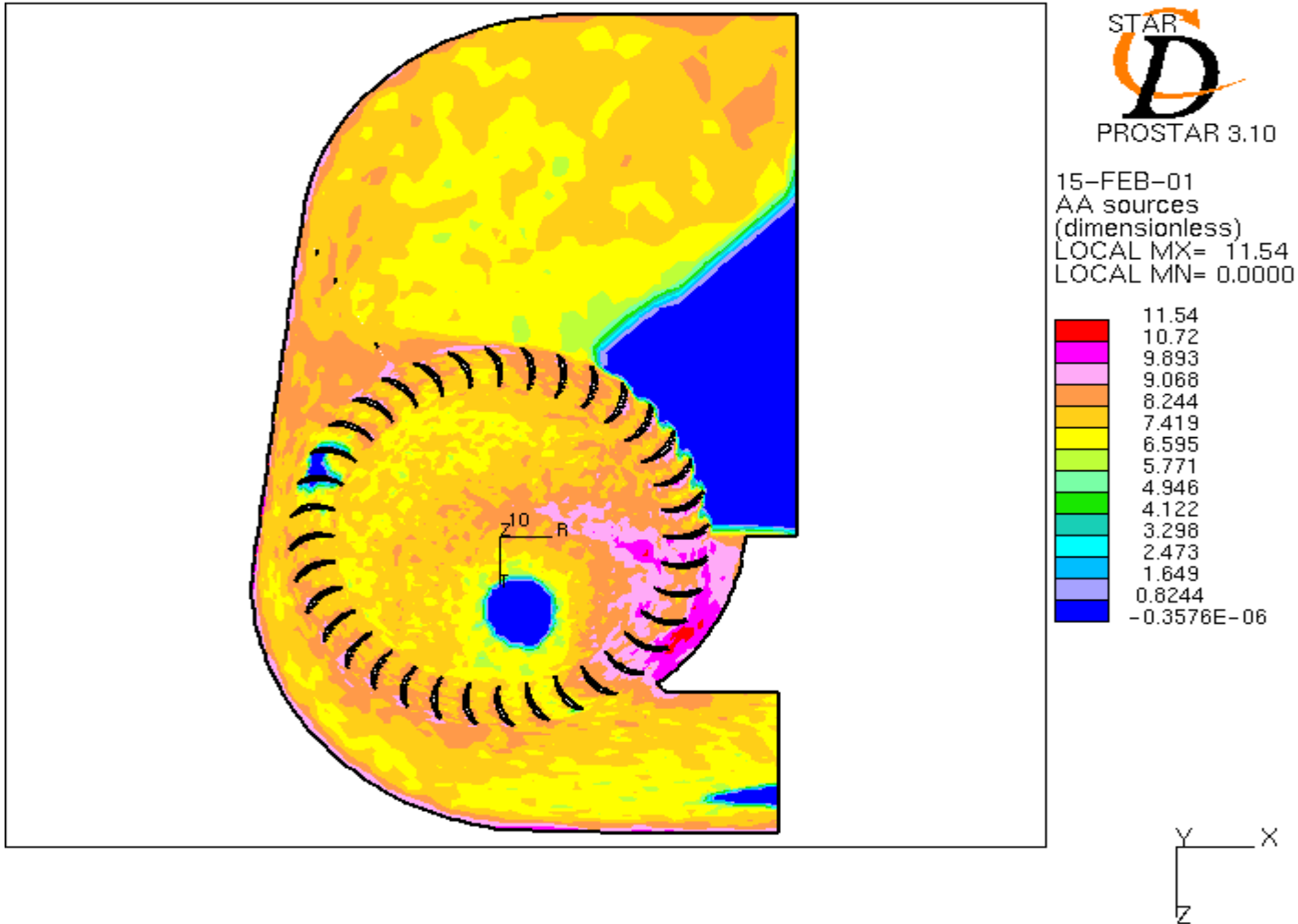
Sound pressure level spectra on the volute tongue



上海交通大学

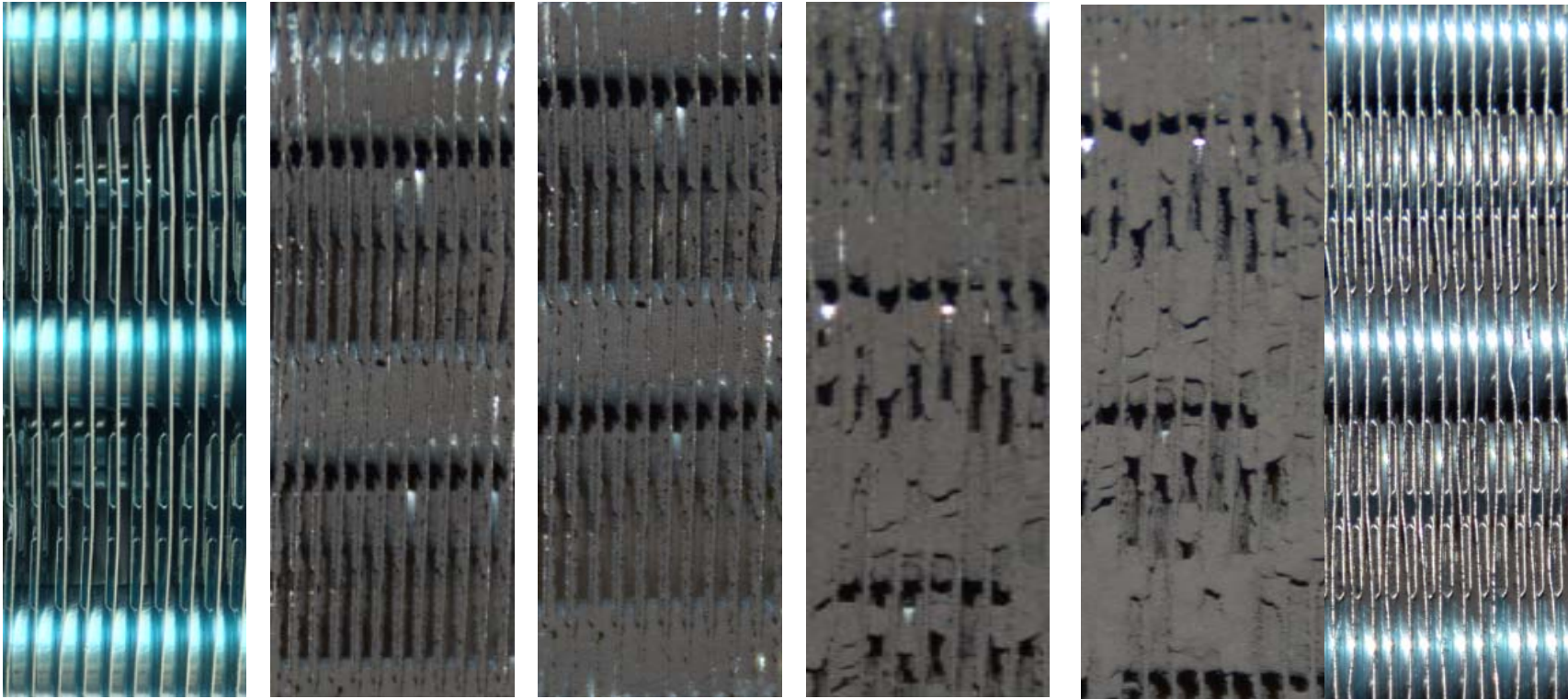
Shanghai Jiao Tong University

分体空调室内机噪声



翅片管换热器积灰

➤ 实验1: 管排数2、 FP 为1.3mm百叶窗片换热器积灰过程



迎风面
T=0min

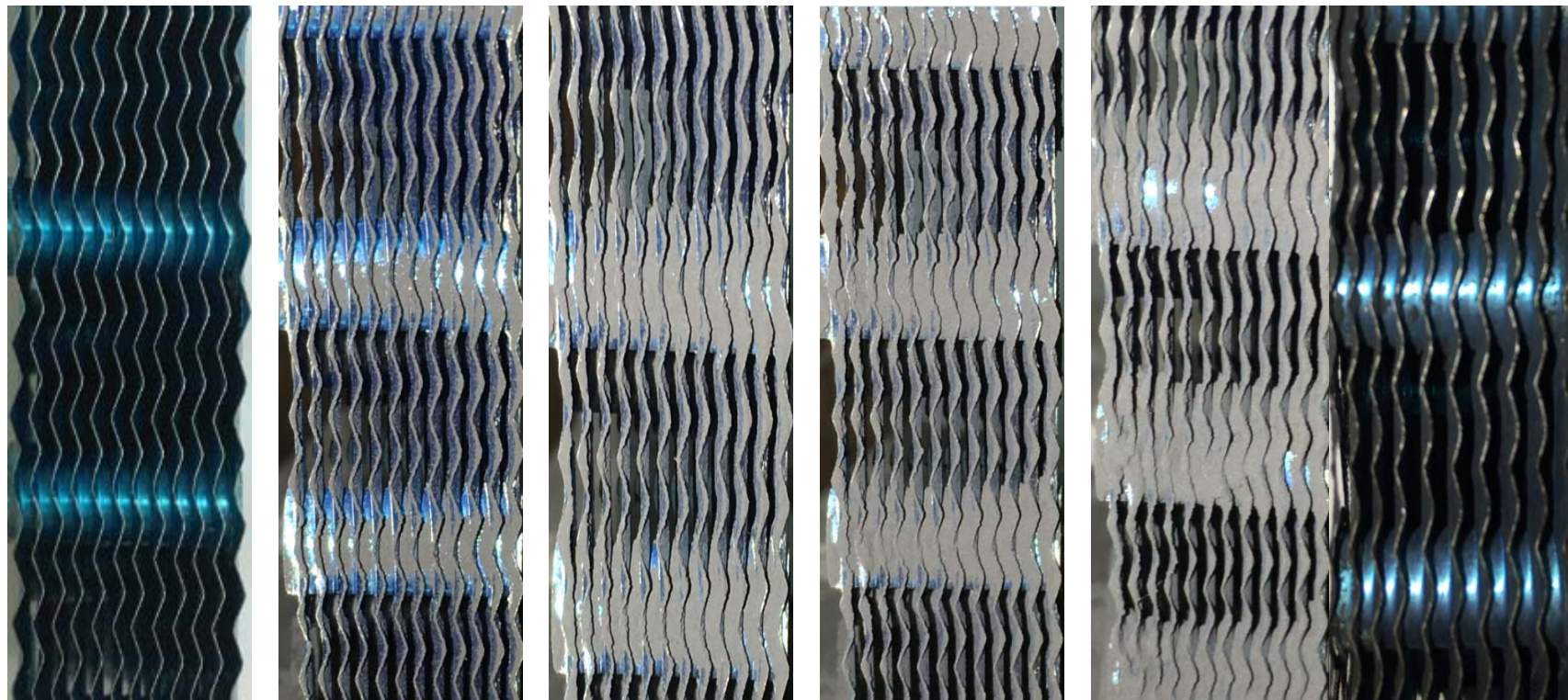
迎风面
T=15min

迎风面
T=40min

迎风面
T=60min

迎风面 背风面
T=90min

➤ 实验2: 管排数2、FP为1.5mm波纹片换热器积灰过程



迎风面
T=0min

迎风面
T=15min

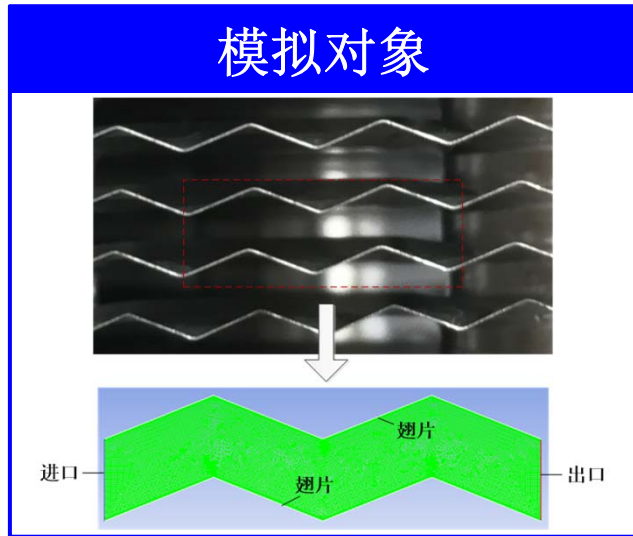
迎风面
T=40min

迎风面
T=60min

迎风面 背风面
T=90min



➤ 颗粒物沉积厚度对比



- ### 条件设置
- 结构参数：翅片间距**3mm**、波纹高度**1.5mm**；
 - 对比工况：风速**2m/s**、喷粉浓度**5.7g/m³**、喷粉时间为**60min**。

模拟结论

T=10min	
T=30min	
T=60min	

对比结论：具有一定的吻合度。



结 论

- 小管径可以大大节省铜材料，降低生产成本；
- 小管径铜管内的换热和压降特性与大管径管不尽相同，直接将换热器中的换热管替换成小管径换热管会增加压降损失；
- 用小管径代替大管径时，应适当增加制冷剂流路的分路数；
- 小管径的翅片结构与大管径的翅片也不同，需要专门设计；
- 精准设计小管径换热器，需要开发析湿模拟软件、换热器三维分布参数仿真与优化设计软件、制冷空调装置整机仿真软件；
- 未来小管径制冷空调装置的开发，还应当关注噪音的降低与长效性能的提高。



参考文献1- 小管径铜管内传热与流动特性

- ① Xiangchao Huang, Guoliang Ding, Haitao Hu, Yu Zhu, Hao Peng, Yifeng Gao, Bin Deng. Influence of oil on flow condensation heat transfer of R410A inside 4.18mm and 1.6mm inner diameter horizontal smooth tubes. *International Journal of Refrigeration*, 2010, 33 (1): 158-169
- ② Xiangchao Huang, Guoliang Ding, Haitao Hu, Yu Zhu, Yifeng Gao, Bin Deng. Condensation heat transfer characteristics of R410A–oil mixture in 5 mm and 4 mm outside diameter horizontal microfin tubes. *Experimental Thermal and Fluid Science*, 2010, 34: 845–856
- ③ Haitao Hu, Guoliang Ding, Wenjian Wei, Xiangchao Huang, Zhence Wang. Heat transfer characteristics of refrigerant-oil mixtures flow boiling in a horizontal C-shape curved smooth tube. *International Journal of Refrigeration*, 2010, 33 (5): 932-943
- ④ Xiangchao Huang, Guoliang Ding, Haitao Hu, Yu Zhu, Yifeng Gao, Bin Deng. Two-phase frictional pressure drop of R410A–oil mixture flow condensation inside 4.18 mm and 1.6 mm I.D. horizontal smooth tubes. *HVAC&R Research*, 2010, 16 (4): 453-470
- ⑤ Xiangchao Huang, Guoliang Ding, Haitao Hu, Yu Zhu, Yifeng Gao, Bin Deng. Flow condensation pressure drop characteristics of R410A-oil mixture inside small diameter horizontal microfin tubes. *International Journal of Refrigeration*, 2010, 33 (7): 1356-1369
- ⑥ Guoliang Ding, Haitao Hu, Xiangchao Huang, Bin Deng, Yifeng Gao. Experimental investigation and correlation of two-phase frictional pressure drop of R410A–oil mixture flow boiling in a 5 mm microfin tube. *International Journal of Refrigeration*, 2009, 32 (1): 150-161
- ⑦ Haitao Hu, Guoliang Ding, Xiangchao Huang, Bin Deng, Yifeng Gao. Measurement and correlation of flow-boiling heat transfer of a R-410A/oil mixture inside a 4.18 mm straight smooth tube. *HVAC&R Research*, 2009, 15 (2): 287-314
- ⑧ Hai-tao Hu, Guo-liang Ding, Xiang-chao, Huang, Bin Deng, Yi-feng Gao. Pressure drop during horizontal flow boiling of R410A/oil mixture in 5 mm and 3 mm smooth tubes. *Applied Thermal Engineering*, 2009, 29 (16): 3353-3365



参考文献2- 空气侧传热与流动特性

- ① Hui Pu, Guo-liang Ding, Xiao-kui Ma, Hai-tao Hu, Yi-feng Gao. Long-term performance of air-side heat transfer and pressure drop for finned tube evaporators of air conditioners under intermittent operation conditions. *International Journal of Refrigeration*, 2010, 33 (1): 107-115
- ② Hui Pu, Guoliang Ding, Haitao Hu, Yifeng Gao. Effect of salt spray corrosion on air-side performance of finned-tube heat exchanger with hydrophilic coating under dehumidifying conditions. *HVAC&R Research*, 2010, 16 (3): 257-272
- ③ Hui Pu, Guo-liang Ding, Hai-tao Hu, Yi-feng Gao. Effect of salt spray corrosion on air-side hydrophilicity and thermal-hydraulic performance of copper-fin heat exchangers. *Heat and Mass Transfer*, 2010, 46 (8-9): 859-867
- ④ Hui Pu, Guo-liang Ding, Xiao-kui Ma, Hai-tao Hu, Yi-feng Gao. Effects of biofouling on air-side heat transfer and pressure drop for finned tube heat exchangers. *International Journal of Refrigeration*, 2009, 32 (5): 1032-1040
- ⑤ Xiaokui Ma, Guoliang Ding, Yuanming Zhang, Kaijian Wang. Airside characteristics of heat, mass transfer and pressure drop for heat exchangers of tube-in hydrophilic coating wavy fin under dehumidifying conditions. *International Journal of Heat and Mass Transfer*, 2009, 52(19-20): 4358-4370
- ⑥ Xiaokui Ma, Guoliang Ding, Yuanming Zhang and Kaijian Wang. Airside heat transfer and friction characteristics for enhanced fin-and-tube heat exchanger with hydrophilic coating under wet conditions. *International Journal of Refrigeration*, 2007, 30 (7): 1153-1167
- ⑦ Xiaokui Ma, Guoliang Ding, Yuanming Zhang and Kaijian Wang. Effects of hydrophilic coating on air side heat transfer and friction characteristics of wavy fin and tube heat exchangers under dehumidifying conditions. *Energy Conversion and Management*, 2007, 48 (9): 2525-2532



参考文献3- 整机的仿真与优化设计

- ① Weijiang Zhang, Chunlu Zhang, **Guoliang Ding**. On three forms of momentum equation in transient modeling of residential refrigeration systems. *International Journal of Refrigeration*, 2009, 32 (5): 938-944
- ② Zhigang Wu, **Guoliang Ding**, Kaijian Wang, Masaharu Fukaya. An extension of a steady-state model for fin-and-tube heat exchangers to include those using capillary tubes for flow control. *HVAC&R Research*, 2008, 14 (1): 85-101
- ③ Zhigang Wu, **Guoliang Ding**, Kaijian Wang, Masaharu Fukaya. Application of a genetic algorithm to optimize the refrigerant circuit of fin-and-tube heat exchangers for maximum heat transfer or shortest tube. *International Journal of Thermal Sciences*, 2008, 47: 985–997
- ④ Zhigang Wu, **Guoliang Ding**, Kaijian Wang, Masaharu Fukaya. Knowledge-based evolution method for optimizing refrigerant circuitry of fin-and-tube heat exchangers. *HVAC&R Research*, 2008, 14 (3): 435-452
- ⑤ **Guo-liang Ding**. Recent developments in simulation techniques for vapour-compression refrigeration systems. *International Journal of Refrigeration*, 2007, 30 (7): 1119-1133
- ⑥ Junwei Hu, **Guoliang Ding**. Effect of deflecting ring on noise generated by outdoor set of a split-unit air conditioner. *International Journal of Refrigeration*, 2006, 29 (3): 505-513
- ⑦ Junwei Hu, **Guoliang Ding**. Effect of the air outlet louver on the noise generated by the outdoor set of a split-unit air conditioner. *Applied Thermal Engineering*, 2006, 26: 1735-1745
- ⑧ **Guo-Liang Ding**, Chun-Lu Zhang, Tao Zhan. An approximate integral model with an artificial neural network for heat exchangers. *Heat Transfer-Asia Research*, 2004, 33(3): 153-160
- ⑨ Jian Liu, WenJian Wei, **GouLiang Ding**, Chunlu Zhang, Masaharu Fukaya, Kaijian Wang, Takefumi Inagaki. A general steady state mathematical model for fin-and-tube heat exchanger based on graph theory. *International Journal of Refrigeration*, 2004, 27 (8): 965–973
- ⑩ **Guoliang Ding**, Chunlu Zhang, Hao Liu. A fast simulation model combining with artificial neural networks for fin-and-tube condenser. *Heat Transfer – Asian Research*, 2002, 31(7): 551-557



谢谢！

